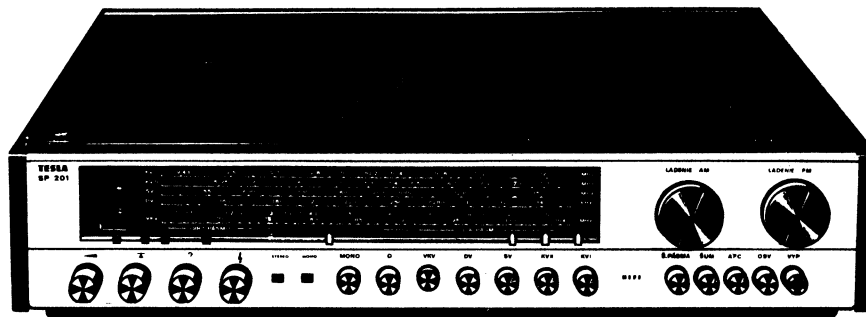




předběžný návod k údržbě
•TESLA 810 A SP 201•

STEREOFONNÍ PŘIJÍMAČ TESLA 810A SP 201

(Vyrábí TESLA BRATISLAVA)



Obr. 1. Přijímač 810A

VŠEOBECNĚ

Tranzistorový přijímač určený pro příjem stereofonních (norma FCC - MULTIPLEX) i monofonních kmitočtově modulovaných signálů na obou pásmech velmi krátkých vln (obsažených v jednom rozsahu) a amplitudově modulovaných signálů na krátkých, středních a dlouhých vlnách.

Přijímač je vybaven tlačítkovými přepínači místního a dálkového příjmu fm, monofonního příjmu stereofonního fm signálu, potlačení šumu při přeladování mezi fm stanicemi, afc, regulace osvětlení stupnice, volby vlnových rozsahů, provozu s gramofonem, přípojky pro magnetodynamickou přenosku, přípojky pro sluchátka a vypínání sítě.

Vyladění stanice je usnadněno indikací hrubého a jemného ladění dvěma měřicími přístroji, světelnou indikací stereofonního signálu nebo nuceného monofonního příjmu a posuvnými značkami na stupnici.

Stereofonní koncový zesilovač se ovládá regulátorem hlasitosti, oddělenými regulátory basů a výšek a regulátorem vyvážení. Kromě obou druhů antén lze k přijímači připojit nízkofrekvenční zesilovač, magnetofon, gramofon s magnetodynamickou nebo krystalovou přenoskou a na výstup dva reproduktory nebo stereofonní sluchátka.

Materiál skříně, která tvoří horní stěnu a bočnice přijímače, je tmavý ořech s matným povrchem.

TECHNICKÉ ÚDAJE

Vlnové rozsahy

vkv	65,5 - 104,5 MHz
kv I	9,5 - 12,2 MHz
kv II	5,95 - 7,4 MHz
sv	525 - 1605 kHz
dv	150 - 340 kHz

Mezifrekvence

10,7 MHz pro fm
468 kHz pro am

Osazení tranzistory a diodami

T101	KF125	-	vf předzesilovač; fm
T102	KF125	-	směšovač; fm
T103	KF125	-	oscilátor; fm
D101	KA204M	-	afc
D102	GA201	-	mř omezovač
T104	GC516	}	- stabilizátor napětí
D103	KZ721		

T201	KF125	-	mf zesilovač; fm	
T202	KF125	-	mf zesilovač; fm	
T203	KF125	-	mf zesilovač; fm	
D202	GA206	-	usměrňovač pro zpožděné avc	
T204	KF125	-	mf zesilovač; fm	
D203	2-GA206	-	poměrový detektor; fm	
D204				
T205	BC226	-	zesilovač pro zpožděné avc	
D205	GAZ51	-	usměrňovač řídicího napětí	
T210	GC511K	-	zesilovač pro indikaci stereo	
T211	KC148	-	předzesilovač pro indikaci stereo	
T212	KC148	-	zesilovač řídicího napětí	
T213	KC148	-	předzesilovač pro práh stereo	
T214	GC516	-	zesilovač pro práh stereo	
T215	GC517	-	předzesilovač pro potlačení šumu	
T216	KC148	-	zesilovač pro potlačení šumu	
T301	OC170	-	zesilovač a oddělovač v dekodéru	
T302	KC507	-	zesilovač pilotního signálu 19 kHz	
D302	GA201	}	-	násobič pilotního signálu
D303	GA201			
T303	KC507	-	zesilovač signálu 38 kHz	
D301	GA201	-	práh indikace stereo	
D304	GA201	}	-	zdvojovač napětí pro indikaci stereo
D305	GA201			
D306	4-GA203	-	křížový detektor	
D307				
D308				
D309				
T206	KC148	-	oddělovací stupeň	} levý kanál
T207	GC517	-	impedanční měnič	
T208	KC148	-	oddělovací stupeň	} pravý kanál
T209	GC517	-	impedanční měnič	
T701	KF125	}	-	směšovač; am
T702	KF125			
T703	KF125	-	oscilátor; am	
T704	KF124	-	mf zesilovač; am	
T705	KF124	-	mf zesilovač; am	
D701	KA204	-	měnič šířky pásma	
D702	KA201	-	dolažování mf okruhu	
D703	KA204	-	měnič šířky pásma	
D704	KA201	-	dolažování mf okruhu	
D705	GA203	-	detektor; am	
T706	KC148	-	mf zesilovač a zesilovač řídicího napětí	
T001	KC149	}	-	korekční předzesilovač pro přenosku, levý kanál
T003	KC148			
T002	KC149	}	-	korekční předzesilovač pro přenosku; pravý kanál
T004	KC148			
T801	KC149	-	mf impedanční transformátor; levý kanál	
T802	KC149	-	mf impedanční transformátor, pravý kanál	
T803	KC148	-	korekční zesilovač; levý kanál	
T804	KC148	-	korekční zesilovač; pravý kanál	
T901	KC148	-	napěťový zesilovač; levý kanál	
T902	KC148	-	napěťový zesilovač; pravý kanál	
T903	KC148	-	budicí zesilovač; levý kanál	

T904	KC148	-	budicí zesilovač; pravý kanál
D901	KA501	}	-
D903	KA501		
D905	KA501		
D902	KA501	}	-
D904	KA501		
D906	KA501		
T907	KF506	}	-
T905	KF517		
T601	KU611		
T603	KU611	}	-
T908	KF506		
T906	KF517		
T602	KU611	}	-
T604	KU611		
D401	KY130/80		
D402	KY130/80	}	-
D403	KY130/80		
D404	KY130/80		
T401	GC511K	}	-
D405	7N270		
D601	KY721F		
D602	KY721F	}	-
D603	KY721F		
D604	KY721F		

Indikační a osvětlovací žárovky

Z1	12 V/0,1 A	-	indikace monofonního příjmu
Z2	6 V/0,05 A	-	indikace stereofonního příjmu
Z3	12 V/0,1 A	}	-
Z4	12 V/0,1 A		
Z5	12 V/0,1 A		

Vf citlivost

vkv	1,7 μ V	(signály 69 a 96 MHz fm 1 kHz, zdvih 40 kHz, odstup - 26 dB) nebo $\leq 15 \mu$ V
		(stereofonní signál L = P fm 1 kHz, celkový zdvih 40 kHz, odstup - 26 dB)
kv I	30 μ V	
kv II	20 μ V	
sv	20 μ V	
dv	25 μ V	(signál am 1 kHz/30 %, odstup - 10 dB, úzké pásmo, výstup 50 mW)

Práh stereofonního příjmu při fm
asi 10 μ V

Práh potlačení šumu při fm
asi 7 μ V

Vf selektivita

vkv	40 dB při rozladění ± 300 kHz
sv	40 dB při rozladění ± 9 kHz
	(výstupní napětí na "R" 20 mV, úzké pásmo)

Odstup signálu od šumu

vkv	$\leq - 41$ dB pro mono i stereo (vstupní signál 1 mV, fm 1 kHz, zdvih 40 kHz, výstup 50 mW)
sv	$\leq - 50$ dB (vstupní signál 100 mV, am 1 kHz/30 %, výstup 50 mW)

Přeslechy mezi kanály při fm

$\leq - 28$ dB (vstup 1 mV/mod. 1 kHz, výstup 1,75 W)

Potlačení pilotního signálu při fm

19 kHz - 60 dB
38 kHz - 60 dB
(vstup 1 mV, L = P, celkový zdvih 67,5 kHz)

Výstupní napětí

vkv	"R"	800 mV _{ef}
	magnetofon	asi 40 mV _{ef}
		(vstup 1 mV, fm 1 kHz, zdvih 40 kHz)
sv	"R"	280 mV _{ef}
	magnetofon	asi 12 mV _{ef}
		(vstup 1 mV, am 1 kHz/30 %)

Citlivost pro gramofon

≤ 150 mV/1 M Ω (krystalová přenoska)
 ≤ 5 mV/47 k Ω (magnetodynamická přenoska)

Zatěžovací impedance
pro reproduktory

2 x 8 Ω

Výstupní výkon

jmenovitý 2 x 7 W
hudební 2 x 10 W

Kmitočtová charakteristika

20 - 20 000 Hz $\pm 1,5$ dB

Harmonické zkreslení

≤ 1 % (v pásmu 40 - 10 000 Hz)

Přeslechy mezi nf kanály

$\leq - 50$ dB (pro 1 kHz)

Rozsahy regulací basů a výšek

při 1 kHz min. ± 10 dB
při 10 kHz min. ± 10 dB

Rozsah regulace vyvážení

+ 1 dB - ∞

Napájení

ze sítě 120 V nebo 220 V; 50 Hz

Příkon

asi 50 W

Jištění

tavné pojistky	0,3 A pro 220 V
	0,5 A pro 120 V
	0,3 A pro napájení vf části
	0,6 A pro napájení žárovek
	2 x 0,8 A pro napájení koncového zesilovače

Rozměry a váha

430 x 105 x 315 mm

6,5 kg

STRUČNÝ POPIS ZAPOJENÍČást pro příjem fm

Signál z dipólu přichází na symetrický vstup s impedancí 300 Ω. Silný místní signál může způsobit křížovou modulaci; proto je třeba jej zmenšit odporovým děličem, který po stisknutí tlačítka P13 snižuje zisk asi o 26 dB. Vstupní část je laděna trojnásobným ladicím kondenzátorem. Konstantní šířka pásma v celém kmitočtovém rozsahu a malá změna strmosti afc se docílují použitím článku v obvodu pásmové propusti a oscilátoru. Samočinné doladování oscilátoru se uskutečňuje kapacitní diodou D101, na niž se zavádí jednak řídicí napětí z poměrového detektoru, jednak stabilizované napětí ze Zenerovy diody D103, které se používá rovněž jako referenční napětí pro stabilizátor napájecího napětí vstupní části (T104). Afc se zapíná stisknutím tlačítka P3.

Silný mezifrekvenční signál, který by mohl deformovat kmitočtovou charakteristiku mf zesilovače, se omezuje otevřením diody D102, čímž se tlumí primární okruh pásmové propusti MFO. Zesilovač je osazen čtyřmi tranzistory, vzájemně vázanými třemi pásmovými propustmi, a zakončen poměrovým detektorem. Potenciometrem R230 se nastavuje největší potlačení amplitudové modulace, potenciometrem R232 nulové stejnosměrné napětí na výstupu. První stupeň zesilovače je řízen napětím, které se získá usměrněním (D202) a zesílením (T205) mf signálu. Práh činnosti avc je určen úpravou pracovního bodu tohoto tranzistoru.

Napětí indukované na úzkopásmovém laděném okruhu MFIIIb, volně vázaném s třetí mf pásmovou propustí, se po usměrnění diodou D205 a zesílení tranzistorem T212 používá jako řídicí napětí pro ukazovatel hrubého vyladění M2 (plná výchylka se nastavuje potenciometrem R263), obvody potlačení šumu a prahu přepnutí na stereofonní příjem. Obvod potlačení šumu se zapíná přepínačem P2; potom se řídicí napětí zesiluje ve dvoustupňovém ss zesilovači (T215, T216) a při ladění mezi stanicemi uzavírá poslední stupeň mf zesilovače. Úroveň signálu, nad níž je stupeň otevřen, se nastavuje potenciometrem R264.

Demodulovaný signál z poměrového detektoru se zavádí jednak na ukazovatel jemného vyladění M1, jednak do stereofonního dekodéru, kde se v prvním stupni zesílí a v prvním laděném okruhu oddělí od pilotního signálu. Po dalším zesílení, zdvojnásobení a opětném zesílení se pilotní signál používá v křížovém detektoru D306 až D309 ke střídavému přepínání stereofonního signálu na levý a pravý kanál. Vhodným kompenzačním napětím se upravují nejmenší přeslechy mezi kanály (potenciometr R306). Pilotní signál se také usměrňuje ve zdvojovači D304, D305 a po zesílení ve dvoustupňovém ss zesilovači T211, T210 se používá pro indikaci stereofonního příjmu žárovkou Z2 (zelené světlo). Dioda D301 je normálně otevřená a tlumí tak první okruh dekodéru; teprve když pilotní signál dosáhne úrovně nutné k spolehlivé indikaci, se dioda uzavře a indikační žárovka se rozsvítí. Jakostní stereofonní příjem je zajištěn obvodem, v němž se řídicí signál, zesílený v dvoustupňovém ss zesilovači T213, T214, používá k otevření tranzistoru T302, když je přijímaný signál dostatečně silný (prahová úroveň se nastavuje potenciometrem R262). Po stisknutí tlačítka P12 se tranzistor T302 trvale uzavře a všechny signály jsou zpracovávány jako monofonní, tj. s větším potlačením šumu. Tento stav je indikován žárovkou Z1 (červené světlo). Také při nesprávném naladění přijímače, kdy je řídicí napětí malé, je stereofonní dekodér uzavřen, čímž se zabrání reprodukci rušivých signálů a nesprávné indikaci.

Z výstupu dekodéru se dostávají oba signály na oddělovací stupně T206, T208 a jsou pak v dvojitých filtrech oprostěny od zbytků pilotního signálu, které by se mohly rušivě projevit při nahrávání. Tranzistory T207, T209 jsou zapojeny jako emitorové sledovače, jimiž se docílují nízká výstupní impedance přijímače potřebná pro magnetofony.

Část pro příjem a m

Signál z antény přichází přes mF odlaďovače na vstupní laděné okruhy vázané se směšovačem, který je osazen dvěma tranzistory (T701, T702), čímž se dosahuje konstantní impedance i zisku stupně v širokém rozsahu ladění a avc. Podobně i oscilátor T703 dodává svůj signál do neměnné zátěže. Vstupní i oscilátorové okruhy pro jednotlivé vlnové rozsahy se zapojují přepínači P6 až P9.

Dvoustupňový (T704, T705) mF zesilovač obsahuje dvě pásmové propusti s proměnnou šířkou pásma. Změna se provádí přepínáním kladného napětí, zaváděného na kapacitní diody D701 a D703, čímž se ovlivňuje kapacitní vazba mezi okruhy propustí. Další kapacitní diody D702 a D704 přitom vyrovnávají rozladění příslušných okruhů tak, aby se rezonanční kmitočet výsledné mF křivky při přepínání neměnil. Třetí pásmová propust zprostředkuje vazbu s demodulační diodou D705. Demodulovaný signál se přivádí na tranzistor T706, který pracuje pro střídavou složku signálu jako emitorový sledovač a pro stejnosměrnou složku jako zesilovač řídicího napětí avc sloužícího k regulaci zisku směšovače i prvního stupně mF zesilovače. Řídicí signál se zavádí také do ukazovatele vyladění M2.

Nízkofrekvenční část

Po průchodu doteky příslušných přepínačů se mF signály z obou částí dostávají na přípojku "R" pro vnější mF zesilovač, na přípojku pro magnetofon a na vstup mF zesilovače, kam se též přivádějí signály z přípojky pro krystalovou přenosku nebo - po přepnutí přepínače P14 - přes korekční dvoukanalový předzesilovač (T001 - T004) signály z přípojky pro magnetodynamickou přenosku. Vlastní zesilovač je tvořen dvěma shodnými soustavami pro oba stereofonní kanály. První stupeň (T801, T802), který slouží jako impedanční transformátor k dosažení vysoké vstupní impedance, je vázán přes fyzilogický regulátor hlasitosti a oddělené regulátory hloubek a výšek s korekčním zesilovačem T803, T804. Na výstupu tohoto stupně je zapojen regulátor vyvážení a za ním napěťový zesilovač T901, T902, na jehož vstup je zavedena zpětná vazba, která zajišťuje pracovní bod koncového zesilovače; velikost zpětné vazby se nastavuje potenciometry R917, R918. V kolektorovém obvodu následujícího budicího obvodu (T903, T904) je zapojena soustava diod D901 - D906, sloužících jako zdroj konstantního napětí pro nastavení (R921, R922) klidového proudu budicí dvojice T905 až T908, která spolu s výkonovými tranzistory T601 až T604 tvoří kvazikomplementární koncový stupeň. Vazba s přípojkami pro reproduktory je kapacitní. Přes doteky přepínače P15 je s výstupem spojena i přípojka pro nízkohmová stereofonní sluchátka.

Napájecí část

Střídavé napětí z vinutí L608 síťového transformátoru T1 se usměrňuje v Graetzově můstku složeném z diod D401 až D404 a po filtraci se stabilizuje v obvodu složeném z tranzistoru T401 a Zenerovy diody D405. Napětím se napájejí všechny vF a mF stupně a obvody samočinné regulace.

Střídavé napětí z vinutí L610 se usměrňuje v můstku složeném z diod D601 až D604 a po filtraci se jím napájí mF část.

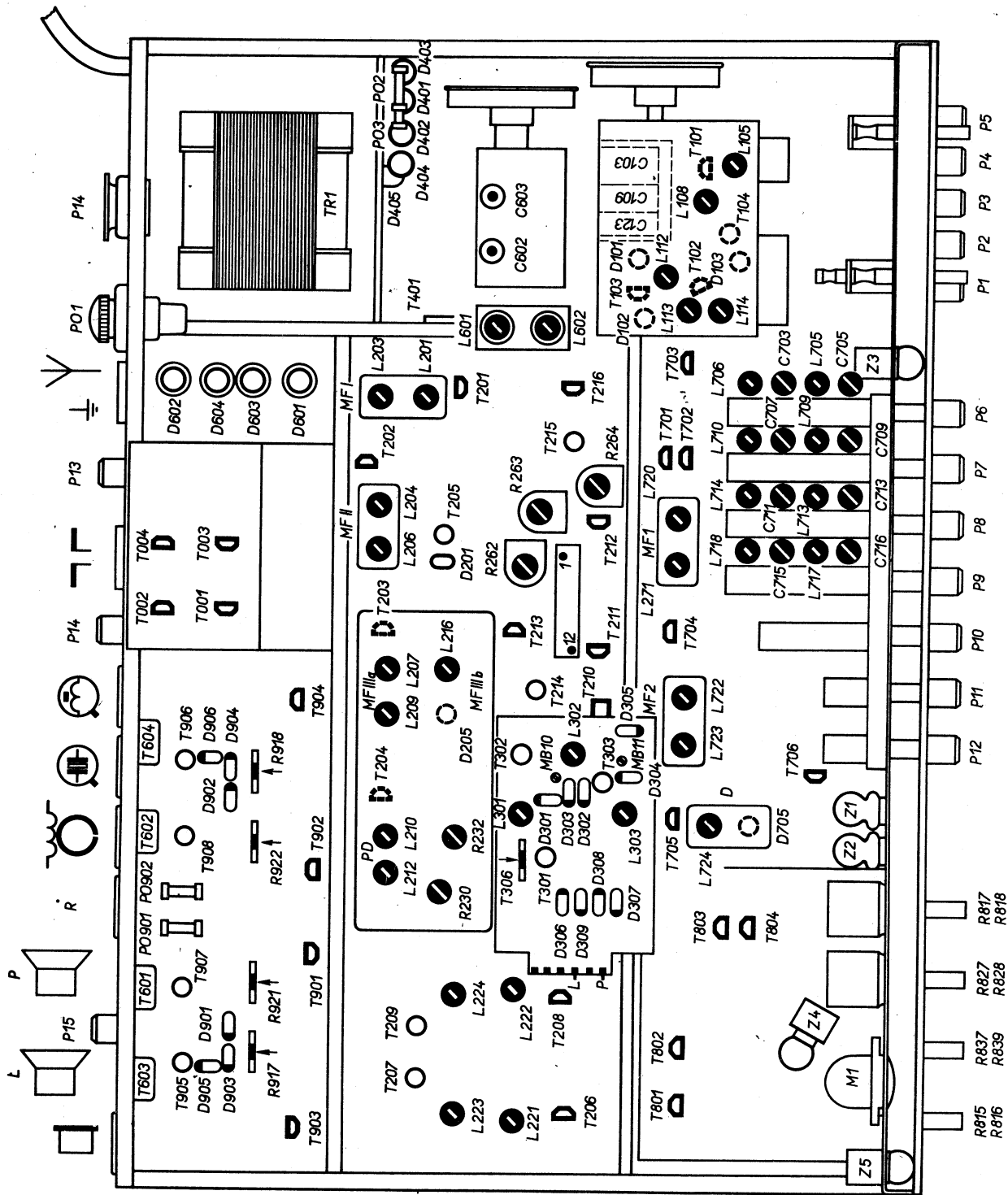
Z vinutí L609 se napájejí indikační a osvětlovací žárovky Z1, Z3, Z4, Z5, přičemž svit posledních tří je možno zvýšit stisknutím tlačítka P4.

SLAĎOVÁNÍ PŘIJÍMAČE

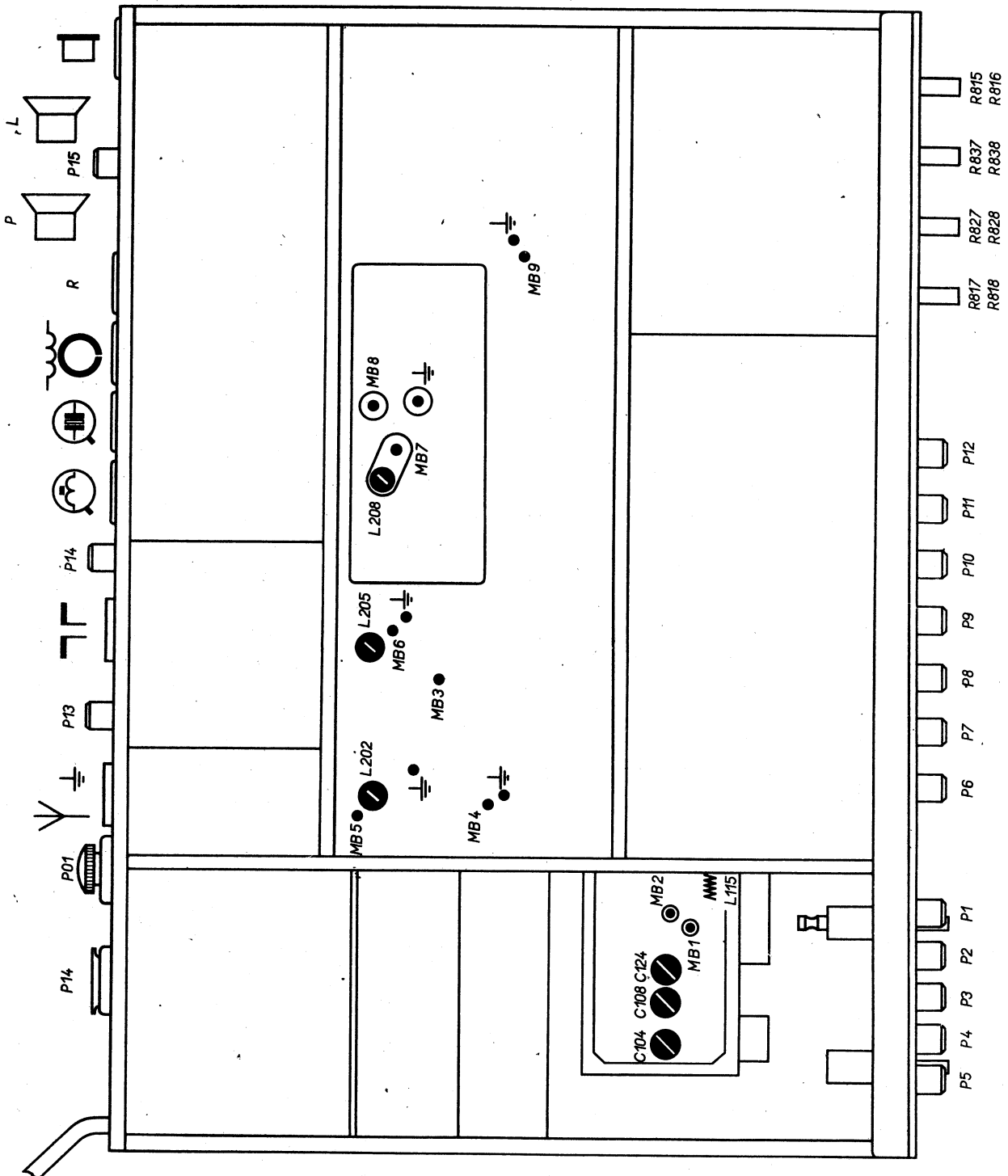
Následující popis obsahuje úplné slaďování a seřizování, které je vždy u přijímačů vyšší jakosti poměrně složité a vyžaduje použití speciálních přístrojů. Při opravách však stačí obvykle doladit nebo seřadit rozladěnou nebo vyměněnou část a zkontrolovat celkovou vF kmitočtovou charakteristiku.

PŘÍSTROJE A POMŮCKY K SLAĎOVÁNÍ

- A. Rozmítač pro 10,7 MHz se značkami 10,6 MHz, 10,7 MHz a 10,8 MHz; nastavitelný zdvih do 1 MHz, úroveň výstupního signálu přepínatelná na 25 mV, 1,2 mV, 70 μ V a 30 μ V a plynule nastavitelná v rozsahu \pm 10 dB; výstupní impedance 75 Ω ; možnost přeladění na 468 kHz a zapnutí amplitudové modulace 1 kHz/30 %, jasová modulace značek a značky vypínatelné nebo amplitudová modulace značek a značky též na nulové ose.



Obr. 2. Sledovací prvky shora



Obr. 3. Sledovací prvky zespođu

- B. Osciloskop k rozmitači s citlivostí vertikálního zesilovače 15 mV/cm.
- C. Zkušební vysílač signálu 10,7 MHz; cejchovaný dělič výstupního napětí v minimálním rozsahu 10 μ V - 10 mV/75 Ω ; možnost doladění na značku 10,7 MHz rozmitače (podúrovňový nastavovací bod); vypínatelná kmitočtová modulace 1 kHz, zdvih 40 kHz a 19 kHz, zdvih 4,5 kHz; výstup přepínatelný na rozmitač.
- D. Zkušební vysílač signálů 65,5 až 104,5 MHz; cejchovaný dělič výstupního napětí v rozsahu 0,5 μ V - 50 μ V/300 Ω (případně se symetrizačním členem); kmitočtová modulace 1 kHz, zdvih 40 kHz a 19 kHz, zdvih 4,5 kHz.
- E. Zkušební vysílač signálů 150 kHz - 15 MHz; cejchovaný dělič výstupního napětí v rozsahu 1 μ V - 1 mV; amplitudová modulace 1 kHz/30 %; normalizovaná umělá anténa.
- F. Nízkofrekvenční generátor signálů 19 kHz a 14,5 kHz; výstupní signál 200 mV; výstupní odpor menší než 5000 Ω .
- G. Nízkofrekvenční milivoltmetr se základní citlivostí 1 mV (pro každý kanál samostatný nebo přepínatelný); vypínatelné filtry 19 kHz a 38 kHz s útlumem alespoň 30 dB; ochrana proti přetížení.
- H. Generátor zakódovaného stereofonního signálu s kmitočtem 99 MHz; výstupní napětí 1 mV/300 Ω .
- I. Stejnoseměrný elektronkový voltmetr.
- J. Zkratovací anténní zástrčka.
- K. Dva bezindukční zatěžovací odpory 8 Ω /15 W.
- L. Odpory 1,8 k Ω a 10 k Ω /0,25 W; bezindukční kondenzátor 500 pF.

VYJÍMÁNÍ PŘIJÍMAČE ZE SKŘÍNĚ

1. Skříň lze odejmout po vyšroubování dvou šroubů M4 zadní stěny a čtyř šroubů M2 spodního krytu, nadzvihnutí zadní části skříně směrem nahoru a vysunutí směrem dozadu. Tím je umožněn přístup k horní části šasi. Spodní část šasi je přístupná po vyšroubování tří šroubů na zadním okraji spodního krytu a po vyvléknutí výlisku na předním okraji.
2. Skříň se na šasi opět upevní, když se šikmo zasune výřez v její přední části do podélného výstupku nad stupnicí. Pak se teprve zadní část skříně sklopí směrem dolů a zašroubuje se příslušné šrouby.

NÍZKOFREKVENČNÍ ČÁST

1. Při měření nízkofrekvenční části přepněte přijímač na provoz s gramofonem, regulátor hlasitosti vytočte zcela doprava a ostatní regulátory nařídte do střední polohy. Pokud není uvedeno jinak, zesilovač není vybuzen.
2. Při síťovém napětí 220 V kontrolujte napájecí napětí nevybuzené nízkofrekvenční části na kondenzátoru C605. Hodnota má být 36 V \pm 5 % a odběr proudu koncového zesilovače pro některý kanál nemá překročit 30 mA (měřeno při vyjmuté pojistce P0901 nebo P0902). Nesouhlasí-li naměřené údaje, seřídte pracovní bod koncového zesilovače a klidové proudy výkonových tranzistorů. Do zásuvek pro reproduktory zapojte zatěžovací odpory 8 Ω /15 W a postupujte podle následujících odstavců.
3. Připojte stejnosměrný elektronkový voltmetr mezi společný bod odporů R931, R933 (R932, R934) a zem a nastavte na něm napětí 17 V otáčením potenciometru R917 (R918).
4. Měřte klidový kolektorový proud výkonových tranzistorů T601, T603 (T602, T604), případně jej upravte na 20 mA otáčením potenciometru R921 (R922). Postup popsany v odst. 3. a 4. opakujte ještě jednou a zajistěte potenciometry nitrolakem.
5. Při kontrole výstupního výkonu připojte souběžně k výstupní zátěži nf milivoltmetr a z tónového generátoru zaveďte přes paralelní kombinaci odporu 50 k Ω a kondenzátoru 2000 pF do přípojky pro krystalovou přenosku postupně signály 63 Hz, 1000 Hz, 5000 Hz a 15 000 Hz. Výkonu 7 W odpovídá napětí 7,5 V na výstupu. Vstupní napětí potřebné k dosažení uvedeného výkonu může být nejvýše 150 mV. Zkreslení výstupního signálu nesmí při popsáném měření překročit 1 %.

6. Stiskněte tlačítko P14 a do přípojky pro magnetodynamickou přenosku zaveďte z tónového generátoru signál 1000 Hz. Velikost signálu potřebná k dosažení výstupního výkonu 7 W ($7,5 \text{ V}/8 \Omega$) může být nejvýše 5 mV.

ČÁST PRO PŘÍJEM KMITOČTOVÉ MODULACE

Poměrový detektor

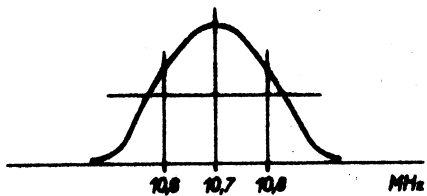
1. Přepněte přijímač na velmi krátké vlny, rozmitač A připojte do měrného bodu MB8, osciloskop B přes oddělovací odpor 10 k Ω a v sérii zapojený kondenzátor 500 pF do bodu MB9 a bod MB7 uzemněte.
2. Citlivost osciloskopu nastavte zhruba na 80 mV/cm, signál z rozmitače 10,7 MHz nastavte na 25 mV, plynulý regulátor na + 6 dB, zdvih 0,6 MHz.
3. Rozlaďte sekundární okruh vyšroubováním jádra cívky L212 a jádrem cívky L210 nalaďte křivku na osciloskopu podle obr. 4. Potom jádrem cívky L212 nalaďte křivku tvaru "S" a posuňte ji tak, aby značka ležela na nulové čáře. Jemným otáčením jádra L210 upravte linearitu a souměrnost vrcholů křivky (na obr. 5. je naznačena proměna křivky při otáčení jádrem).
4. Přepněte rozmitač na amplitudovou modulaci a na získané křivce (viz obr. 6a) posuňte potenciometrem R230 bod s největším potlačením am do středu křivky na značku 10,7 MHz (obr. 6b).
5. Vypněte modulaci am a zkontrolujte, zda tvar křivky odpovídá obr. 5., případně zopakujte postup podle odst. 3. a 4.
6. Snižte signál z rozmitače o 12 dB, citlivost osciloskopu přepněte na 15 mV/cm a zapněte am. Posun bodu s největším potlačením am od středu křivky musí být zanedbatelný.
7. Odpojte uzemnění bodu MB7 a jádra cívek zajistěte voskem.

Mezifrekvenční zesilovač

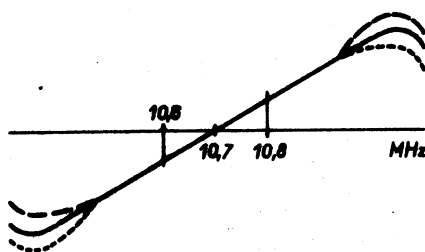
1. Přijímač zůstává přepnutý na velmi krátké vlny. Odpojte vstupní část od mf zesilovače (v bodě MB4), osciloskop B s oddělovacími členy (10 k Ω , 500 pF) připojte do měřicího bodu MB3 a jeho citlivost přepněte na 50 mV/cm. Rozmitač A připojte do bodu MB6, výstupní signál 10,7 MHz nastavte na 25 mV, plynulý regulátor na 0 dB.
2. Jádra cívek L207 a L209 pásmové propusti MFIIIa nastavte značku 10,7 MHz na vrchol křivky, plynulým regulátorem pak vhodně upravte její velikost a jádrem cívky L208 nastavte značky 10,6 MHz a 10,8 MHz na úroveň podle obr. 7a. Případné rozladění opravte znovu jádra cívek L207, L209 tak, aby křivka byla úplně souměrná.
3. Rozmitač připojte do bodu MB5 a úroveň výstupního napětí zmenšete na 1,2 mV. Jádra cívek L204 a L206 pásmové propusti MFII nalaďte křivku do rezonance a jádrem cívky L205 nastavte značky do úrovně podle obr. 7b. Při sladování udržujte vhodnou velikost křivky plynulým regulátorem a dbejte, aby byla souměrná a aby značka 10,7 MHz byla na jejím vrcholu.
4. Rozmitač připojte do bodu MB4 a úroveň výstupního napětí zmenšete na 70 μ V. Jádra cívek L201 a L203 pásmové propusti MFI nalaďte křivku do rezonance a jádrem cívky L204 (primár MFII) případně upravte její největší výšku. Jádrem cívky L202 nastavte pak značky do úrovně podle obr. 7c, přičemž výšku upravujte plynulým regulátorem rozmitače.
5. Jádra sladěných okruhů zajistěte voskem, odpojte měřicí přístroje a připojte vstupní část k mf zesilovači.

Ukazovatelé vyladění

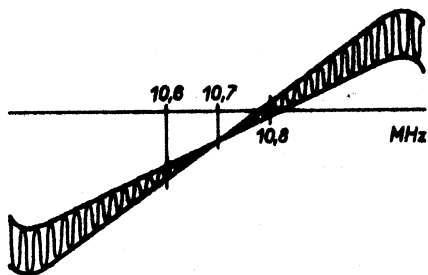
1. Přijímač zůstává přepnut na kvv. Zkušební vysílač C připojte do bodu MB4 (vstupní část pro kvv odpojena), výstupní signál 10,7 MHz nastavte na 5 mV a vypněte modulaci.
2. Potenciometrem R232 nařídte nulovou výchylku ukazovatele M1.
3. Jádrem cívky L216 pásmové propusti MFIIIb nařídte pokud možno největší výchylku ukazovatele M2 a potenciometrem R263 potom upravte výchylku na jmenovitou (největší). Úroveň



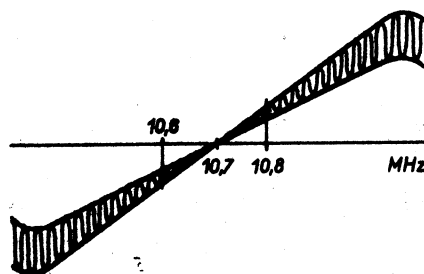
Obr. 4.



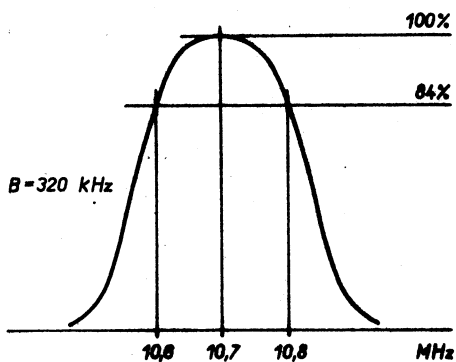
Obr. 5.



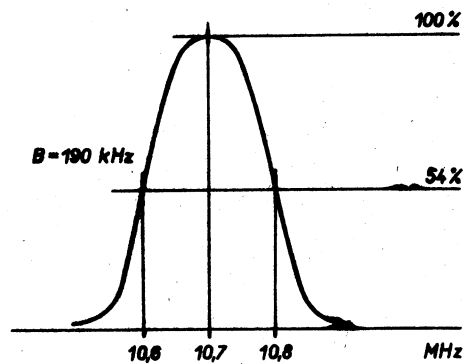
Obr. 6a.



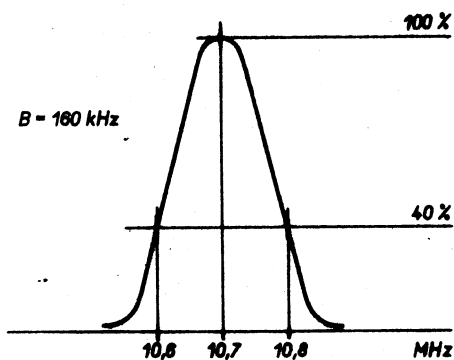
Obr. 6b.



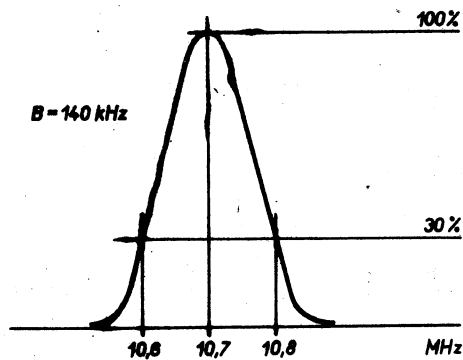
Obr. 7a.



Obr. 7b.



Obr. 7c.



Obr. 7d.

signálu z generátoru snižte tak, aby výchylka poklesla asi o 25 %, a jádrem cívky L216 přesně obvod ukazovatele dolaďte na pokud možno největší výchylku.

4. Jádro cívky zajistěte voskem a připojte vstupní část k mf zesilovači.

Kontrola mf citlivosti

1. Přijímač zůstává přepnut na vkv. Zkušební vysílač C připojte do bodu MB4 (vstupní část pro vkv odpojena) výstupní signál 10,7 MHz nastavte na 10 mV, modulace 1 kHz, zdvih 40 kHz.
2. Na výstup přijímače "R" (pro zesilovač) připojte mf milivoltmetr G. Výstupní napětí na obou kanálech nesmí být větší než $0,5 V_{ef}$ a nesmí se vzájemně lišit o více než 20 %. Připojte opět vstupní část k mf zesilovači.

Nízkofrekvenční filtry

1. Přijímač zůstává přepnut na vkv. Nf generátor F připojte do bodu MB9 a nařídte jej na 19 kHz, výstupní napětí 200 mV. Na výstup přijímače "R" (pro zesilovač) připojte mf milivoltmetr G.
2. Jádra cívek L221 a L222 vyladte nejmenší výchylky milivoltmetru. Generátor nařídte na 14,5 kHz a jádra cívek L223 a L224 vyladte nejmenší výchylky milivoltmetru. Jádra cívek pak zajistěte voskem.

Vstupní část

1. Přijímač zůstává přepnut na vkv. Odejměte spodní kryt vstupní části pro vkv, připojte rozmitač A do měrného bodu MB1 a nastavte úroveň výstupního signálu 10,7 MHz na 30 μ V. Osciloskop B připojte přes oddělovací odpor 10 k Ω a v sérii zapojený kondenzátor 500 pF do bodu MB3 a citlivost osciloskopu nařídte na 150 mV/cm. Tlačítko přepínače P13 ponechte nestlačené (DÁLKOVÝ PŘÍJEM) a do anténních zdírek zasuňte zkratovací zástrčku J.
2. Jádra cívek L113 a L114 pásmové propusti MFO nastavte značku 10,7 MHz na vrchol křivky. Potom upravte celkový tvar křivky a úroveň značek podle obr. 7d. roztahováním nebo stlačováním cívky L115, přičemž dbejte, aby křivka byla souměrná. Jádra cívek pak zajistěte voskem, nasadte spodní kryt vstupní části, odpojte zkratovací zástrčku a všechny přístroje.
3. Zkušební vysílač D připojte do anténní zásuvky pro fm a upravte výstupní signál na 50 μ V, kmitočtová modulace 1 kHz, zdvih 40 kHz. Na výstup přijímače "R" (pro zesilovač) připojte mf milivoltmetr G.
4. Ladění přijímače pro fm nařídte na levý doraz a příslušný stupnicový ukazovatel posuňte na motouzu do takové polohy, aby se kryl s koncovou značkou vlevo na stupnici; ukazovatel zajistěte nitrolakem.
5. Přijímač nalaďte na značku 67 MHz, ze zkušebního vysílače zaveďte signál 67 MHz a jádrem cívky L112 nařídte ukazovatel M1 na nulu (přitom ukazovatel M2 ukazuje největší výchylku). Snižte úroveň signálu tak, aby výstupní napětí na milivoltmetru kleslo asi o 30 %. Jádra cívek L105 a L108 nařídte největší výchylku. Signál udržujte na úrovni, při které je výchylka o 30 % nižší než plná.
6. Přijímač přelaďte na značku 101 MHz a zkušební vysílač přelaďte na 101 MHz. Úroveň signálu zvyšte na 50 μ V a dolaďovací kondenzátorem C124 nastavte ukazovatel M1 na nulu. Úroveň signálu snižte o 30 % a dolaďovacími kondenzátory C104 a C108 nastavte největší výchylku výstupního měřiče, přičemž úroveň signálu dále snižujte.
7. Postup uvedený pod 5. a 6. opakujte, až dosáhnete dokonalý souběh v obou sřaďovacích bodech. Jádra cívek pak zajistěte voskem.

Práh potlačení šumu

1. Přijímač zůstává přepnut na velmi krátké vlny. Zkušební vysílač D připojte do anténní zásuvky, nalaďte jej na 101 MHz, modulace 1 kHz, zdvih 40 kHz. Na výstup přijímače "R" (pro zesilovač) připojte mf milivoltmetr G.

2. Stiskněte tlačítko P2 (SUM); přitom výstupní napětí klesne na nulu. Postupně zvyšujte úroveň signálu z generátoru až na 7 μV , kdy se skokem objeví na milivoltmetru plné napětí. Pokud je prahové napětí jiné, opravte je potenciometrem R264.

Práh stereofonního příjmu

1. Přijímač zůstává přepnut na velmi krátké vlny. Zkušební vysílač D připojte do anténní zásuvky, nalaďte jej na 101 MHz, modulace 19 kHz, zdvih 4,5 kHz. Na výstup přijímače "R" (pro zesilovač) připojte nf milivoltmetr G. Kromě tlačítka P10 není žádné stisknuto.
2. Postupně zvyšujte signál asi od 4 μV až k 10 μV , kdy se má rozsvítit žárovka Z2 (zelená). Pokud je prahová citlivost jiná, opravte ji potenciometrem R262.
3. Zvyšte signál až na 50 μV . Při stisknutí tlačítka P12 (MONO) musí zelené světlo zhasnout a rozsvítí se červené (žárovka Z1).

Kontrola afc

1. Přijímač zůstává přepnut na velmi krátké vlny. Zkušební vysílač D připojte do anténní zásuvky, nalaďte jej na 101 MHz, modulace 19 kHz, zdvih 4,5 kHz, úroveň signálu 50 μV . Přijímač je naladěný na zavedený signál, žárovka Z2 (zelená) svítí, kromě tlačítka P10 není žádné stisknuto.
2. Rozladujte přijímač na jednu stranu tak dlouho, až žárovka zhasne. Po stisknutí tlačítka P3 (AFC) se musí žárovka opět rozsvítit. Totéž kontrolujte i při rozladění přijímače na druhou stranu.

Kontrola absolutní vf citlivosti

1. Zkušební vysílač D připojte do anténní zásuvky, nalaďte jej na 101 MHz; modulace 1 kHz, zdvih 40 kHz, úroveň signálu 50 μV . Kromě P10 není žádné tlačítko stisknuto.
2. Na výstup přijímače "R" (pro zesilovač) připojte nf milivoltmetr G. Výstupní napětí na obou kanálech musí být větší než 0,5 V.
3. Snižujte plynule úroveň signálu ze zkušebního vysílače tak, až výstupní napětí poklesne o 3 dB pod původní úroveň. Velikost vf signálu pak musí být menší než 5 μV .

Stereofonní dekodér

1. Přijímač je přepnut na velmi krátké vlny. Pilotní signál 19 kHz s úrovní 30 mV_{ef} z generátoru zakódovaného stereofonního signálu H zaveďte do měrného bodu MB9. Nf milivoltmetr G připojte co nejkratšími nestíněnými přívody do bodu MB11. Jádra cívek L301, L302, L303 nařídte postupně největší výchylku milivoltmetru (asi 4 - 7 V_{ef}). Potenciometr R306 je při tomto nastavování v pravé krajní poloze. Stejnoseměrným elektronkovým voltmetrem I kontrolujte napětí pro indikační obvody v bodě MB10; má být nejvýše 8 V.
2. Generátor zakódovaného stereofonního signálu G připojte do anténní zásuvky. Kmitočet signálu je 99 MHz, modulace 1 kHz, zdvih 67,5 kHz, výstupní napětí 1 mV. Na výstup přijímače "R" (pro zesilovač) připojte nf milivoltmetr G doplněný filtry pro 19 kHz a 38 kHz.
3. Výstupní napětí na obou kanálech při L = P se nesmějí vzájemně lišit o více než 3 dB.
4. Zapněte modulaci L (zdvih 33,75 kHz, P = 0). Potenciometr R306 vytáčte do dvou třetin dráhy směrem doprava. Jádrem cívky L301 nařídte nejmenší výchylku milivoltmetru pravého kanálu. Na nejmenší výchylku nařídte potom i potenciometr R306 a znovu jemně dolaďte jádro cívky L301. Jádra cívek zajistěte voskem.
5. Přepněte na modulaci P (L = 0) a zkontrolujte, zda nejmenší výchylka milivoltmetru levého kanálu je přibližně stejná jako na pravém kanálu. Při výraznějším rozdílu nastavte kompromis potenciometrem R306. Hodnota přeslechů mezi oběma kanály musí dosáhnout alespoň 30 dB.
6. Zapněte modulaci L = P s celkovým zdvihem 67,5 kHz a změřte výstupní napětí nf milivoltmetrem. Po přepojení milivoltmetru na výstup pro magnetofon se má naměřit výstupní napětí asi 6,5 krát nižší.

ČÁST PRO PŘÍJEM AMPLITUDOVÉ MODULACEMezifrekvenční zesilovač

1. Přepněte přijímač na střední vlny, ostatní tlačítka ponechte nestlačena, ladění přijímače pro am naříďte na pravý doraz, na výstup přijímače "R" (pro zesilovač) připojte nf milivoltmetr G.
2. Signál 468 kHz amplitudově modulovaný kmitočtem 1 kHz na 30 % zavádějte ze zkušebního vysílače v takové velikosti, aby se výchylka milivoltmetru udržovala na hodnotě 13 mV. Pro tuto hodnotu platí i údaje mf citlivostí uvedené v tabulce I.

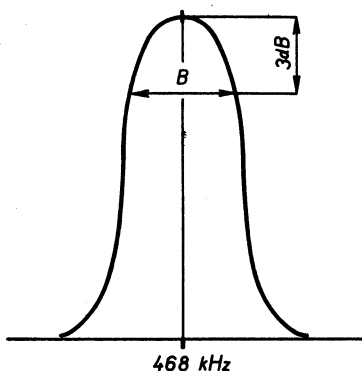
Tabulka I. Sladování mf zesilovače pro am

Postup	Zkušební vysílač		Sladovaný přijímač		Výchylka výstupního měřiče	Průměrná citlivost pro 13 mV
	Připojení	Signál	Stupnicový ukazovatel	Sladovaný prvek		
1	4	přes 30 nF na bázi T705	na pravý doraz	L724	max.	900 μV
2	5	přes 30 nF na bázi T704		L722, L723		50 μV
3	6	přes 30 nF na bázi T701		L720, L721		4 μV

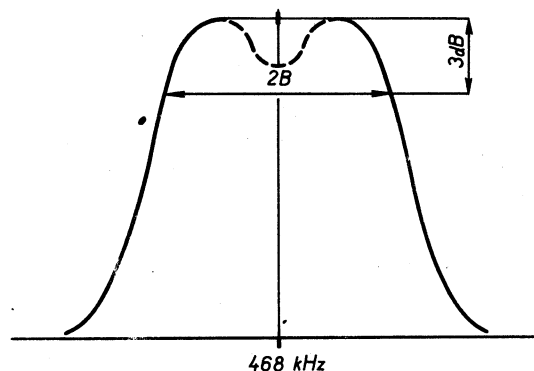
3. Naladění mf pásmových propustí doporučujeme ještě zkontrolovat rozmitačem A připojeným přes oddělovací odpor 1,8 kΩ na bázi tranzistoru T1. Na výstup "R" pro zesilovač je připojen osciloskop B. Jádra cívek uvedených v tabulce I. postupně dolaďte největší výšku a souměrnost křivky. Potom stiskněte tlačítko P1 a kontrolujte průběh křivky podle obr. 8b. Případné opravy provádějte jen při nastaveném úzkém pásmu (tlačítko P1 nestlačené) podle obr. 8a. Jádra cívek pak zajistěte voskem.

Vstupní část

1. Ladění přijímače pro am naříďte na levý doraz a příslušný stupnicový ukazovatel posuňte na motouzu do takové polohy, aby se kryl s koncovými značkami vlevo na stupnici; ukazovatel zajistěte nitrolakem. Nf milivoltmetr zůstává připojen na vstupu "R" a do anténních



Obr. 8a.



Obr. 8b.

zdiřek pro am se zavádějí ze zkušební vysílače E přes normální umělou anténu amplitudově modulované signály (1 kHz/30 %) podle tabulky II. Při sladování je stisknuto vždy jen tlačítko příslušného vlnového rozsahu. Nakonec zajistěte jádra cívek voskem. Dosazené citlivosti by měly odpovídat hodnotám v Technických údajích.

Tabulka II. Sladování vstupní části pro am

Postup	Zkušební vysílač		Sladovaný přijímač			Výchyly výstupního měřiče	
	Připojení	Signál	Rozsah	Stupnicový ukazovatel	Sladovaný prvek		
1	9	přes normální umělou anténu na anténní zdiřku přijímače	9,6 MHz	kv I	na značku 9,6 MHz	L706, L705	max.
2	10		11,8 MHz		na značku 11,8 MHz	C703 ^x , C705	
3	11		6 MHz	kv II	na značku 6 MHz	L710, L709	
4	12		7,2 MHz		na značku 7,2 MHz	C707, C709	
5	13		550 kHz	sv	na značku 550 kHz	L714, L713	
6	14		1500 kHz		na značku 1500 kHz	C711, C713	
7	15		156 kHz	dv	na značku 156 kHz	L718, L717	
8	16		320 kHz		na značku 320 kHz	C715, C716	
17		468 kHz	sv	na levý doraz	L601, L602	min.	

x Správná je výchylnka s menší kapacitou doladovacího kondenzátoru

NÁHRADNÍ DÍLY

Mechanické části

Poz.	Název	Objednací číslo	Poznámky
1	skříň přijímače sestavená	1PF 068 81	
2	boční přichytka skříně	1PA 614 25	
3	upevňovací úhelník skříně	1PA 676 06	
4	stínící fólie	1PA 572 14	
5	spodní kryt	1PA 693 01	
6	noha na krytu	6AA 229 04	
7	přední panel	1PF 115 18	
8	oboustranná lepenka	METEOR	
9	indikační sklo červené	1PA 168 08	
10	indikační sklo zelené	1PA 168 07	
11	sloupek k indikační žárovce	1PA 098 33	
12	stupnice	1PF 153 21	
13	posuvná značka červená	1PA 166 03	
14	posuvná značka zelená	1PA 166 04	
15	ladicí knoflík	1PF 243 46	
16	péro knoflíku	1PA 023 00	
17	malý knoflík	1PF 242 25	
18	péro knoflíku	1PA 023 01	
19	stínítko	1PA 323 01	
20	kladka 6	1PA 670 09	
21	kladka 1-5, 7-9	1PA 670 11	
22	ladicí hřídel H se setrvačником	1PF 882 05	fm
23	ladicí hřídel G se setrvačником	1PF 882 11	am
24	náhonový buben B	1PF 846 18	fm

25	náhonový buben A	LPF 846 19	am
26	stupnicový ukazovatel U	LPF 165 32	fm
27	stupnicový ukazovatel V	LPF 165 31	am
28	polyamidový vlasec T \varnothing 0,15	TPD 30-065-64	
29	náhonový motouz S \varnothing 0,5	LPA 428 48	fm
30	náhonový motouz R \varnothing 0,5	LPA 428 47	am
31	náhonová pružina P	LPA 791 05	
32	měřicí přístroj M1	Mi 42	s nulou uprostřed
33	měřicí přístroj M2	Mi 41	
34	deska s pájecími očky	LPF 367 01	
35	objímka žárovky Z1-Z5	LPF 498 09	
36	žárovka Z1, Z3, Z4, Z5	ČSN 36 0151.1	12 V/0,1 A
37	žárovka Z2	52 031	6 V/0,05 A
38	tlačítková souprava (P1 - P5)	LPK 052 67	
39	tlačítko P1 - P4; P6 - P12	LPF 800 30	
40	tlačítko P5	LPF 800 31	
41	zadní panel	LPF 115 16	
42	anténní zásuvka	6AF 280 24	fm
43	anténní zásuvka	6AF 280 22	am
44	přepínač P13 s anténní deskou	LPK 555 19	
45	anténní deska s plošnými spoji	LPB 000 83	
46	tlačítko P13 - plastická část	LPA 447 08	
47	tlačítko P13 - kovová část	LPA 449 15	
48	distanční sloupek přepínače P13	LPA 259 25	
49	stíněná pětipólová zásuvka	5ČSN 35 4621.0	
50	zásuvka pro reproduktor	2ČSN 35 4622	
51	pouzdro pojistky P01	1AK 489 04	
52	pojistka P01; 0,3 A/250 V	ČSN 35 4731	pro 220 V
53	pojistka P01; 0,5 A/250 V	ČSN 35 4731	pro 120 V
54	zástrčka voliče napětí P14	2PK 462 02	
55	zásuvka voliče napětí P14	2PF 465 02	
56	matice zásuvky	2PA 037 08	
57	kryt tranzistoru T601, T602, T603, T604	LPA 251 33	
58	izolační průchodka tranzistoru	LPA 900 16	
59	slídová podložka tranzistoru	LPA 413 15	
60	síťová šňůra	LPF 616 00	
61	příchytka šňůry	LPA 662 34	
62	deska pro diody D601 - D604	LPA 369 02	
63	držák kondenzátoru C605	LPA 813 00	
64	deska s cívkami L604, L605	LPF 826 79	
65	deska s mf odlaďovači	LPK 852 41	
66	vstupní část pro fm sestavená	LPN 051 03	
67	příchytka vstupní části	LPA 635 86	
68	víčko vstupní části horní	LPA 169 05	
69	kryt spodní	LPA 169 06	
70	distanční vložka ladicího kondenzátoru	LPA 255 26	
71	doraz ladicího kondenzátoru	LPA 259 22	
72	deska vstupní části s plošnými spoji	LPB 000 68	
73	mf část pro fm sestavená	LPK 051 43	
74	stínící kryt horní	LPA 689 12	
75	stínící kryt spodní	LPA 689 11	
76	příchytka krytu	6PA 668 35	
77	zásuvka dvanáctipólová	WK 465 40	
78	zástrčka se svazkem vodičů	LPF 620 14	
79	zástrčka holá	WK 462 42	

80	mf deska pro fm s plošnými spoji	LPB 000 79	
81	stereofonní dekodér sestavený	LPN 050 63	
82	držák dekodéru	LPA 614 14	
83	deska dekodéru s plošnými spoji	LPB 000 75	
84	vstupní a mf část pro am sestavená	LPK 051 49	
85	tlačítková souprava (P6-P12)	LPK 052 95	
86	stínící plech soupravy	LPA 575 53	
87	deska vstupní a mf části s plošnými spoji	LPB 000 89	
88	korekční předzesilovač pro přenosku sestavený	LPN 290 17	
89	deska předzesilovače s plošnými spoji	LPB 001 13	
90	korekční zesilovač sestavený	LPN 290 13	
91	deska zesilovače s plošnými spoji	LPB 000 87	
92	výkonový zesilovač	LPN 290 14	
93	držák pojistky P0901, P0902, P02, P03	7AA 654 12	
94	pojistka P0901, P0902 (0,8 A/250 V)	ČSN 35 4731	
95	deska zesilovače s plošnými spoji	LPB 000 88	
96	napáječ sestavený	LPK 099 40	
97	pojistka P02 (0,6 V/250 V)	ČSN 35 4731	
98	pojistka P03 (0,3 V/250 V)	ČSN 35 4731	
99	deska napáječe s plošnými spoji	LPB:000 90	
100	jádro cívky L105, L108, L112	504 500/N01	M3,5 x 0,5 x 10
101	jádro cívky L113, L114	504 600/N02	M4 x 0,5 x 8
102	jádro cívky L201, L204, L207, L210, L216	504 651/N05	M4 x 0,5 x 12
103	jádro cívky L202, L203, L205, L206, L208, L209, L212	504 600/N05	M4 x 0,5 x 12
104	jádro cívky L221, L222, L223, L224	205 513 304 651	M4 x 0,5 x 12
105	jádro cívky L301, L302, L303	504 601/H11	M4 x 0,5 x 12
106	jádro cívky L601, L602, L720, L721, L722, L723, L724	504 651/H11	M4 x 0,5 x 12
107	jádro cívky L705, L706, L709, L710	205 533 304 504	M4 x 0,5 x 8
108	jádro cívky L713, L714	205 512 304 651	M4 x 0,5 x 12
109	jádro cívky L714, L718	504 501/H6	M4 x 0,5 x 8

Elektrické části

L	Cívka	Počet závitů	Objednací číslo	Poznámky
101	tlumivka	5,5	LPA 600 02	
102	tlumivka	2,5	LPA 600 03	
103	} vstupní; vkv	1,25		
104		1,25	LPF 600 18	
105		17,5		
106	tlumivka	3,5	LPA 600 01	
107	tlumivka	20	LPN 652 03	
108	} pásmová propust; vkv	17,5	LPF 600 19	
109		1,5		
110	tlumivka	5,5	LPA 600 02	
111	tlumivka	20	LPN 652 03	
112	oscilátor; vkv	16	LPF 600 20	
113	} 0. mf pásmová propust; 10,7 MHz	28	LPN 657 02	MFO (viz R105)
114		28		
115	tlumivka	5,5	LPA 600 02	
116	tlumivka	20	LPN 652 01	
117	tlumivka	20	LPN 652 02	
120	tlumivka	2	LPN 652 06	

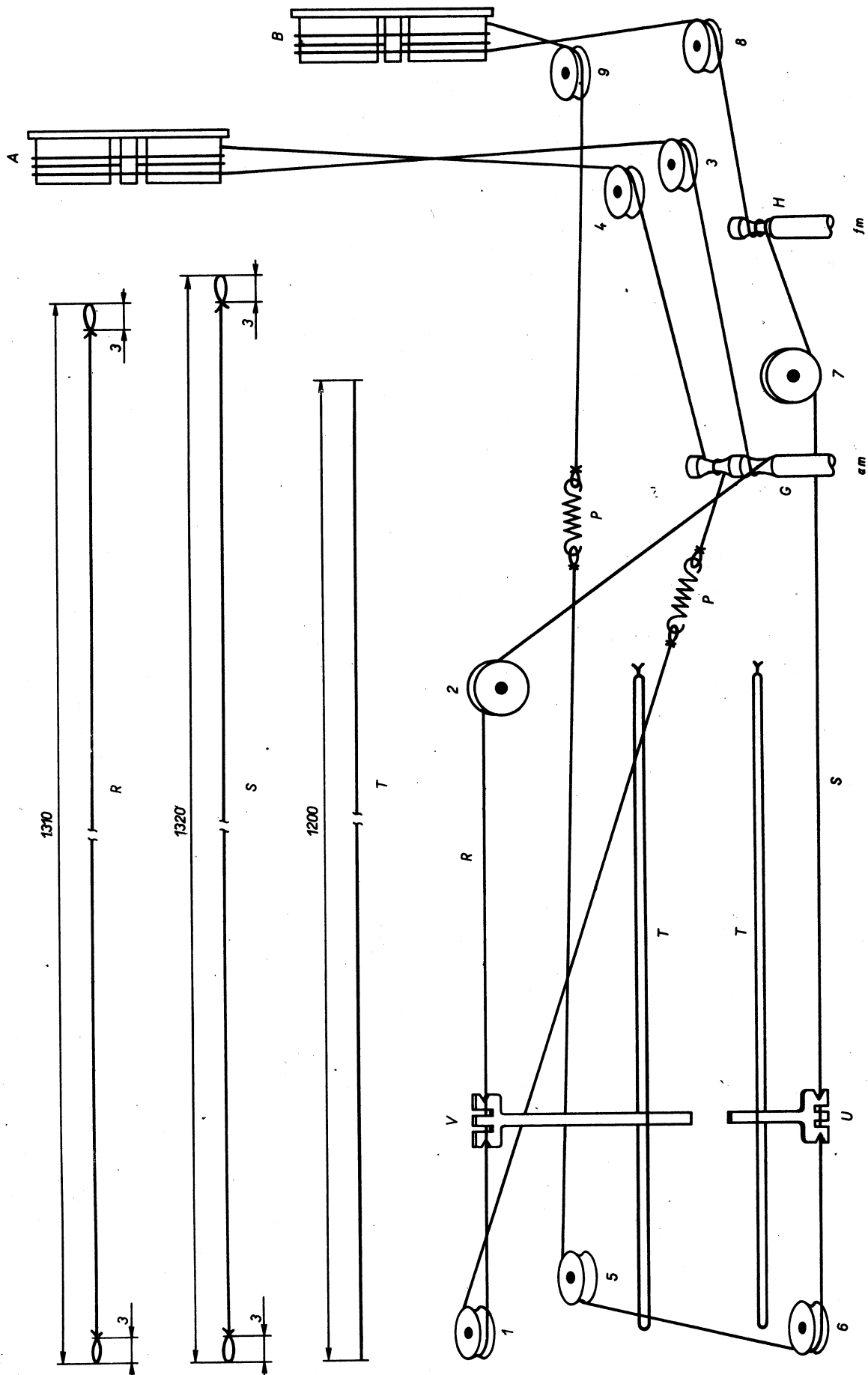
201	I. mf pásmová propust; 10,7 MHz	25	1PK 853 05	MF1
202		2		
203		25		
204	II. mf pásmová propust; 10,7 MHz	22	1PK 853 06	MFII
205		2		
206		22		
207	IIIa. mf pásmová propust; 10,7 MHz	29	1PK 853 07	MFIIIa
208		3		
209		22		
210	poměrový detektor pro fm	27	1PK 853 09	PD
211		9		
212		15		
213	tlumivka	15	1PN 652 01	
214		20		
215		20		
216	IIIb. mf pásmová propust; 10,7 MHz	17	1PK 853 08	MFIIIB
217		3		
218		20		
219	tlumivka	20	1PN 652 01	
220	tlumivka	20	1PN 652 01	
221	filtr; 19 kHz (levý kanál)	2320	1PK 586 83	
222	filtr; 19 kHz (pravý kanál)	2320	1PK 586 83	
223	filtr; 14,5 kHz (levý kanál)	2320	1PK 586 83	
224	filtr; 14,5 kHz (pravý kanál)	2320	1PK 586 83	
225	tlumivka	20	1PN 652 01	
301	laděný okruh; 19 kHz	560	1PK 586 33	
301'		140		
302		340		
302'	laděný okruh; 38 kHz	180	1PK 586 34	
302"		180		
303		130		
303'	laděný okruh; 38 kHz	190	1PK 586 35	
303"		190		
601		mf odladovač; 468 kHz		
602	mf odladovač; 468 kHz	500	1PK 586 58	
603	tlumivka	30	1PF 607 09	} poz. 64
604	tlumivka	25	1PF 607 08	
605	síťový transformátor	128	9WN 661 05.1	TRL
606		587		
607		489		
607'		98		
608		88		
609		66		
610		139		
704	vstupní; kv I	40	1PK 633 19	
705		32+3		
706	oscilátor; kv I	20+10	1PK 586 59	
707		3		
708	vstupní; kv II	100	1PK 633 20	
709		5+6		
710	oscilátor; kv	30+15	1PK 586 60	
711		4		
712	vstupní;	750	1PK 633 21	
713		152+16		

714	}	oscilátor; sv	90+30	1PK 586 61		
715			3			
716			900	1PK 633 22		
717	}	vstupní; dv	510+40			
718			170+60	1PK 586 62		
719	}	oscilátor; dv	5			
720			1. mf pásmová propust; 468 kHz	75	1PK 853 16	MF1
721				80		
722			2. mf pásmová propust; 468 kHz	75	1PK 853 18	MF2
723				80		
724	}	detektor pro am	75	1PK 853 17		
725			30			
726			550	1PF 600 27		

C	Kondenzátor	Hodnota	Objednací číslo	Poznámky	
001	elektrolytický	10 μ F + 100 - 10 %	TE 005 10M		
002	elektrolytický	10 μ F + 100 - 10 %	TE 005 10M		
003	svitkový	3300 pF \pm 5 %	TC 281 3k3/B		
004	svitkový	3300 pF \pm 5 %	TC 281 3k3/B		
005	svitkový	10 000 pF \pm 20 %	TC 235 10k		
006	svitkový	10 000 pF \pm 20 %	TC 235 10k		
007	keramický	100 pF	TK 754 100/k		
008	keramický	100 pF	TK 754 100/k		
009	elektrolytický	200 μ F + 100 - 10 %	TE 002 G2		
010	elektrolytický	200 μ F + 100 - 10 %	TE 002 G2		
011	elektrolytický	5 μ F + 100 - 10 %	TE 006 5M		
012	elektrolytický	5 μ F + 100 - 10 %	TE 006 5M		
013	elektrolytický	20 μ F + 100 - 10 %	TE 984 20M	izolace PVC	
101	keramický	18 pF \pm 5 %	SK 736 72 18/B		
102	keramický	1000 pF \pm 20 %	TK 752 1k		
103	}	34 pF			
109		} ladící	34 pF	LPN 705 49	
123			34 pF		
104	dolaďovací	2,7 pF	SK 720 32		
105	keramický	330 pF \pm 20 %	TK 622 330/M		
106	keramický	22 pF \pm 5 %	SK 736 72 22/B		
107	keramický	150 pF \pm 10 %	SK 736 71 150/A		
108	dolaďovací	2,7 pF	SK 720 32		
109				viz C103	
110	keramický	1000 pF \pm 20 %	TK 752 1k		
111	keramický	33 000 pF \pm 20 %	SK 737 02 33k		
112	keramický	56 pF \pm 10 %	SK 736 71 56/A		
113	keramický	68 pF \pm 5 %	SK 721 92 68/B		
114	keramický	150 pF \pm 5 %	SK 736 71 150/B		
115	keramický	1000 pF \pm 20 %	TK 752 1k		
116	keramický	1000 pF \pm 20 %	TK 752 1k		
118	keramický	1000 pF \pm 20 %	TK 752 1k		
119	keramický	3,3 pF \pm 10 %	SK 721 91 3J3/A		
120	keramický	1,5 pF \pm 10 %	SK 721 91 1J5/A		
121	keramický	180 pF \pm 10 %	5WK 780 00 180/A		
122	keramický	1000 pF \pm 20 %	TK 752 1k		
123				viz C103	
124	dolaďovací	2,7 pF	SK 720 32		

125	keramický	1000 pF ± 20 %	TK 752 1k	
126	keramický	1000 pF ± 20 %	TK 752 1k	
127	keramický	4,7 pF ± 10 %	SK 721 91 4J7/A	
201	keramický	100 pF ± 10 %	SK 790 02 100/A	
202	elektrolytický	50 µF + 100 - 10 %	TE 004 50M	
203	elektrolytický	50 µF + 100 - 10 %	TE 004 50M	
204	keramický	1500 pF ± 20 %	TK 752 1k5	
205	keramický	15 000 pF ± 20 %	TK 749 15k	
206	keramický	47 pF ± 10 %	TK 754 47/A	viz MFI
207	keramický	47 pF ± 10 %	TK 754 47/A	viz MFI
208	svitkový	1500 pF ± 10 %	TC 281 1k5/A	
209	keramický	10 000 pF ± 20 %	TK 751 10k	
210	keramický	56 pF ± 10 %	SK 790 01 56/A	viz MFII
211	keramický	56 pF ± 10 %	SK 790 01 56/A	viz MFII
212	keramický	470 pF ± 10 %	SK 736 70 470/A	
213	keramický	2200 pF ± 20 %	TK 752 2k2	
214	keramický	330 pF ± 10 %	TK 720 330/A	
215	keramický	10 000 pF ± 20 %	TK 751 10k	
216	keramický	39 pF ± 5 %	SK 790 01 39/B	viz MFIIIa
217	keramický	330 pF ± 20 %	TK 622 330/M	viz MFIIIa
218	keramický	56 pF ± 10 %	SK 790 01 56/A	viz MFIIIa
219	keramický	100 pF ± 10 %	SK 790 02 100/A	viz MFIIIa
220	keramický	15 000 pF ± 20 %	TK 749 15k	
221	svitkový	2200 pF ± 10 %	TC 281 2k2/A	
222	svitkový	1800 pF ± 10 %	TC 281 1k8/A	
223	keramický	1500 pF ± 20 %	TK 752 1k5	
224	keramický	2200 pF ± 20 %	TK 752 2k2	
225	keramický	39 pF ± 10 %	SK 790 01 39/A	viz PD
226	keramický	33 pF ± 10 %	SK 790 01 33/A	viz PD
227	keramický	100 pF ± 10 %	SK 790 02 100/A	
228	keramický	100 pF ± 10 %	SK 790 02 100/A	
229	elektrolytický	10 µF + 100 - 10 %	TE 003 10M	
230	keramický	33 000 pF ± 20 %	SK 737 02 33k	viz MFIIIb
231	keramický	56 pF ± 10 %	SK 790 01 56/A	viz MFIIIb
232	keramický	2200 pF ± 20 %	TK 752 2k2	viz MFIIIb
233	svitkový	0,33 µF ± 20 %	TC 180 M33	
234	svitkový	0,33 µF ± 20 %	TC 180 M33	
235	svitkový	0,33 µF ± 20 %	TC 180 M33	
236	elektrolytický	2 µF + 100 - 10 %	TE 005 2M	
237	elektrolytický	2 µF + 100 - 10 %	TE 005 2M	
238	elektrolytický	2 µF + 100 - 10 %	TE 005 2M	
239	elektrolytický	2 µF + 100 - 10 %	TE 005 2M	
240	svitkový	1000 pF ± 5 %	TC 281 1k/B	
241	svitkový	1000 pF ± 5 %	TC 281 1k/B	
242	svitkový	820 pF ± 5 %	TC 281 820/B	
243	svitkový	820 pF ± 5 %	TC 281 820/B	
244	svitkový	2200 pF ± 5 %	TC 281 2k2/B	
245	svitkový	2200 pF ± 5 %	TC 281 2k2/B	
246	svitkový	3300 pF ± 5 %	TC 281 3k3/B	
247	svitkový	3300 pF ± 5 %	TC 281 3k3/B	
248	elektrolytický	2 µF + 100 - 10 %	TE 005 2M	
249	elektrolytický	2 µF + 100 - 10 %	TE 005 2M	
250	elektrolytický	10 µF + 100 - 10 %	TE 003 10M	
251	svitkový	560 pF ± 5 %	TC 281 560/B	
252	elektrolytický	5 µF + 100 - 10 %	TE 984 5M	izol. PVC

301	elektrolytický	5 μF + 100 - 10 %	TE 004 5M	
302	elektrolytický	5 μF + 100 - 10 %	TE 004 5M	
303	svitkový	1800 pF \pm 20 %	TC 281 1k8	
304	elektrolytický	2 μF + 100 - 10 %	TC 923 2M	izol. PVC
305	svitkový	56 pF \pm 20 %	TC 281 56	
306	keramický	10 000 pF \pm 20 %	TK 751 10k	
307	svitkový	8200 pF \pm 5 %	TC 281 8k2/B	
308	elektrolytický	2 μF + 100 - 10 %	TC 923 2M	izol. PVC
309	svitkový	8200 pF \pm 5 %	TC 281 8k2/B	
310	keramický	0,1 μF \pm 20 %	TK 750 M1	
311	elektrolytický	2 μF + 100 - 10 %	TC 923 2M	izol. PVC
312	keramický	6800 pF \pm 20 %	TK 751 6k8	
313	keramický	0,1 μF \pm 20 %	TK 750 M1	
314	keramický	10 000 pF \pm 20 %	TK 751 10k	
315	svitkový	3900 pF \pm 20 %	TK 281 3k9	
316	elektrolytický	2M + 100 - 10 %	TC 923 2M	izol. PVC
317	keramický	1000 pF \pm 20 %	TK 425 1k	
318	svitkový	680 pF \pm 5 %	TC 281 680/B	
319	svitkový	680 pF \pm 5 %	TC 281 680/B	
320	svitkový	680 pF \pm 5 %	TC 281 680/B	
321	svitkový	680 pF \pm 5 %	TC 281 680/B	
322	svitkový	1200 pF \pm 5 %	TC 281 1k2/B	
323	svitkový	1200 pF \pm 5 %	TC 281 1k2/B	
324	svitkový	560 pF \pm 5 %	TC 281 560/B	
401	keramický	10 000 pF \pm 20 %	TK 751 10k	
402	keramický	10 000 pF \pm 20 %	TK 751 10k	
403	elektrolytický	500 μF + 100 - 10 %	TE 986 G5	izol. PVC
404	elektrolytický	500 μF + 100 - 10 %	TE 986 G5	izol. PVC
405	elektrolytický	500 μF + 100 - 10 %	TE 986 G5	izol. PVC
406	elektrolytický	50 μF + 100 - 10 %	TE 986 50M	
601	svitkový	0,33 μF \pm 20 %	TC 180 M33	
602	} ladici	328 pF		
603		394 pF	LPN 705 57	
604	elektrolytický	500 μF + 100 - 10 %	TE 984 G5	izol. PVC
605	elektrolytický	2000 μF + 100 - 10 %	TC 937a 2G	izol. PVC
606	svitkový	0,1 μF \pm 20 %	TC 181 M1	
607	svitkový	470 pF \pm 10 %	TC 281 470/A	
702	keramický	33 pF \pm 5 %	TK 754 33/B	
703	dolařovací	10 pF	N 47 BT 7,5 4-10	
704	keramický	39 pF \pm 5 %	TK 754 39/B	
705	dolařovací	20 pF	N 750 BT 7,5 5-20	
706	keramický	39 pF \pm 5 %	TK 754 39/B	
707	dolařovací	20 pF	N 750 BT 7,5 5-20	
708	keramický	39 pF \pm 5 %	TK 754 39/B	
709	dolařovací	20 pF	N 750 BT 7,5 5-20	
710	slídový	330 pF \pm 2 %	WK 714 30 330/C	
711	dolařovací	20 pF	N 750 BT 7,5 5-20	
712	keramický	56 pF \pm 5 %	TK 754 56/B	
713	dolařovací	20 pF	N 750 BT 7,5 5-20	
714	keramický	150 pF \pm 5 %	TK 754 150/B	
715	dolařovací	20 pF	N 750 BT 7,5 5-20	
716	dolařovací	20 pF	N 750 BT 7,5 5-20	
717	keramický	33 pF \pm 5 %	TK 754 33/B	
718	keramický	15 000 pF \pm 20 %	TK 749 15k	
719	keramický	15 000 pF \pm 20 %	TK 749 15k	
720	keramický	15 000 pF \pm 20 %	TK 749 15k	



Obr. 10. Rozměry a montáž náhonových motouzů

721	keramický	47 000 pF ± 20 %	TK 782 47k	
722	keramický	0,1 μF ± 20 %	TK 782 M1	
723	svitkový	1000 pF ± 5 %	TC 281 1k/B	MF1
724	keramický	47 000 pF ± 10 %	TK 782 47k	
725	svitkový	220 pF ± 20 %	TC 281 220	
726	elektrolytický	50 μF + 100 - 10 %	TE 984 50M	
727	svitkový	1000 pF ± 5 %	TC 281 1k/B	MF1
728	svitkový	3300 pF ± 10 %	TC 281 3k3/A	
729	keramický	47 pF ± 10 %	TK 754 47/A	
730	keramický	0,1 μF ± 20 %	TK 782 M1	
731	keramický	47 000 pF ± 20 %	TK 782 47k	
732	svitkový	1000 pF ± 5 %	TC 281 1k/B	MF2
733	svitkový	220 pF ± 20 %	TC 281 220	
734	svitkový	1000 pF ± 5 %	TC 281 1k/B	MF2
735	svitkový	3300 pF ± 10 %	TC 281 3k3/A	
736	elektrolytický	100 μF + 100 - 10 %	TE 984 G1	izol. PVC
737	keramický	47 pF ± 10 %	TK 754 47/A	
738	elektrolytický	100 μF + 100 - 10 %	TE 984 G1	
739	keramický	47 000 pF ± 20 %	TK 782 47k	
740	svitkový	1000 pF ± 5 %	TC 281 1k/B	D
741	keramický	0,1 μF ± 20 %	TK 782 M1	
742	svitkový	1800 pF ± 10 %	TC 281 1k8/A	
743	elektrolytický	10 μF + 100 - 10 %	TE 984 10M	
744	svitkový	1000 pF ± 10 %	TC 281 1k/A	
745	svitkový	1000 pF ± 20 %	TC 281 1k	MF1
746	svitkový	1000 pF ± 20 %	TC 281 1k	MF2
747	keramický	12 pF ± 5 %	TK 754 12/B	
748	keramický	12 pF ± 5 %	TK 754 12/B	
801	svitkový	22 000 pF ± 20 %	TC 235 22k	
802	svitkový	22 000 pF ± 20 %	TC 235 22k	
803	elektrolytický	10 μF + 100 - 10 %	TE 984 10M	izol. PVC
804	elektrolytický	10 μF + 100 - 10 %	TE 984 10M	izol. PVC
805	elektrolytický	10 μF + 100 - 10 %	TE 984 10M	izol. PVC
806	elektrolytický	10 μF + 100 - 10 %	TE 984 10M	izol. PVC
807	svitkový	2200 pF ± 5 %	TC 281 2k2/B	
808	svitkový	2200 pF ± 5 %	TC 281 2k2/B	
809	svitkový	0,22 μF ± 20 %	TC 180 M22	
810	svitkový	0,22 μF ± 20 %	TC 180 M22	
811	svitkový	1500 pF ± 20 %	TC 281 1k5	
812	svitkový	1500 pF ± 20 %	TC 281 1k5	
813	svitkový	33 000 pF ± 20 %	TC 235 33k	
814	svitkový	33 000 pF ± 20 %	TC 235 33k	
815	svitkový	33 000 pF ± 20 %	TC 235 33k	
816	svitkový	33 000 pF ± 20 %	TC 235 33k	
817	elektrolytický	2 μF + 100 - 10 %	TE 984 2M	izol. PVC
818	elektrolytický	2 μF + 100 - 10 %	TE 984 2M	izol. PVC
819	elektrolytický	5 μF + 100 - 10 %	TE 004 5M	
820	elektrolytický	5 μF + 100 - 10 %	TE 004 5M	
821	keramický	68 pF ± 20 %	TK 620 68	
822	keramický	68 pF ± 20 %	TK 620 68	
825	elektrolytický	50 μF + 100 - 10 %	TE 002 50M	
826	elektrolytický	50 μF + 100 - 10 %	TE 002 50M	
827	elektrolytický	500 μF + 100 - 10 %	TE 986 G5	izol. PVC
828	elektrolytický	2 μF + 100 - 10 %	TE 006 2M	
901	elektrolytický	2 μF + 100 - 10 %	TE 006 2M	
902	elektrolytický	2 μF + 100 - 10 %	TE 006 2M	

903	elektrolytický	50 μ F + 100 - 10 %	TE 986 50M	
904	elektrolytický	50 μ F + 100 - 10 %	TE 986 50M	
905	elektrolytický	20 μ F + 100 - 10 %	TE 004 20M	
906	elektrolytický	20 μ F + 100 - 10 %	TE 004 20M	
907	elektrolytický	20 μ F + 100 - 10 %	TE 004 20M	
908	elektrolytický	20 μ F + 100 - 10 %	TE 004 20M	
909	svitkový	100 pF \pm 10 %	TC 281 100/A	
910	svitkový	100 pF \pm 10 %	TC 281 100/A	
911	elektrolytický	50 μ F + 100 - 10 %	TE 986 50M	izol. PVC
912	elektrolytický	50 μ F + 100 - 10 %	TE 986 50M	izol. PVC
913	elektrolytický	500 μ F + 100 - 10 %	TE 986 G5	izol. PVC
914	elektrolytický	500 μ F + 100 - 10 %	TE 986 G5	izol. PVC
915	elektrolytický	500 μ F + 100 - 10 %	TE 986 G5	izol. PVC
916	elektrolytický	500 μ F + 100 - 10 %	TE 986 G5	izol. PVC
917	keramický	10 000 pF \pm 20 %	TK 751 10k	
918	keramický	10 000 pF \pm 20 %	TK 751 10k	
919	svitkový	0,1 μ F \pm 20 %	TC 181 M1	
920	svitkový	0,1 μ F \pm 20 %	TC 181 M1	

R	Odporník	Hodnota	Objednací číslo	Poznámky
001	vrstvý	3300 Ω \pm 20 %	TR 112a 3k3	
002	vrstvý	3300 Ω \pm 20 %	TR 112a 3k3	
003	vrstvý	820 Ω \pm 5 %	TR 112a 820/B	
004	vrstvý	820 Ω \pm 5 %	TR 112a 820/B	
005	vrstvý	0,12 M Ω \pm 20 %	TR 112a M12	
006	vrstvý	0,12 M Ω \pm 20 %	TR 112a M12	
007	vrstvý	22 000 Ω \pm 5 %	TR 112a 22k/B	
008	vrstvý	22 000 Ω \pm 5 %	TR 112a 22k/B	
009	vrstvý	47 000 Ω \pm 10 %	TR 112a 47k/A	
010	vrstvý	47 000 Ω \pm 10 %	TR 112a 47k/A	
011	vrstvý	0,33 M Ω \pm 5 %	TR 112a M33/B	
012	vrstvý	0,33 M Ω \pm 5 %	TR 112a M33/B	
013	vrstvý	1500 Ω \pm 20 %	TR 112a 1k5	
014	vrstvý	1500 Ω \pm 20 %	TR 112a 1k5	
015	vrstvý	8200 Ω \pm 10 %	TR 112a 8k2/A	
016	vrstvý	8200 Ω \pm 10 %	TR 112a 8k2/A	
017	vrstvý	10 000 Ω \pm 10 %	TR 112a 10k/A	
018	vrstvý	10 000 Ω \pm 10 %	TR 112a 10k/A	
019	vrstvý	0,12 M Ω \pm 20 %	TR 112a M12/A	
101	vrstvý	330 Ω \pm 10 %	TR 112a 330/A	
102	vrstvý	3300 Ω \pm 10 %	TR 112a 3k3/A	
103	vrstvý	12 000 Ω \pm 10 %	TR 112a 12k/A	
104	vrstvý	390 Ω \pm 10 %	TR 112a 390/A	
105	vrstvý	33 000 Ω \pm 10 %	WK 650 54 33k/A	na L113
106	vrstvý	5600 Ω \pm 10 %	TR 112a 5k6/A	
107	vrstvý	150 Ω \pm 10 %	TR 112a 150/A	
108	vrstvý	18 000 Ω \pm 10 %	TR 112a 18k/A	
109	vrstvý	18 000 Ω \pm 10 %	TR 112a 18k/A	
110	vrstvý	1000 Ω \pm 20 %	TR 112a 1k	
111	vrstvý	3300 Ω \pm 10 %	TR 112a 3k3/A	
112	vrstvý	1500 Ω \pm 10 %	TR 112a 1k5/A	
113	vrstvý	12 000 Ω \pm 10 %	TR 112a 12k/A	
114	vrstvý	6800 Ω \pm 10 %	TR 112a 6k8/A	

115	vrstvový	82 000 Ω \pm 10 %	TR 112a 82k/A	
116	vrstvový	0,47 M Ω \pm 20 %	TR 112a M47	
117	vrstvový	1 M Ω \pm 20 %	TR 112a 1M	
118	vrstvový	0,47 M Ω \pm 10 %	TR 112a M47/A	
119	vrstvový	22 Ω \pm 20 %	TR 112a 22	
201	vrstvový	47 Ω \pm 10 %	TR 112a 47/A	
202	vrstvový	220 Ω \pm 10 %	TR 112a 220/A	
204	vrstvový	2200 Ω \pm 10 %	TR 112a 2k2/A	
205	vrstvový	560 Ω \pm 10 %	TR 112a 560/A	
207	vrstvový	22 000 Ω \pm 10 %	TR 112a 22k/A	
208	vrstvový	15 000 Ω \pm 10 %	TR 112a 15k/A	
209	vrstvový	18 000 Ω \pm 10 %	TR 112a 18k/A	
210	vrstvový	470 Ω \pm 10 %	WK 650 54 470/A	viz MFI
211	vrstvový	680 Ω \pm 10 %	TR 112a 680/A	
212	vrstvový	4700 Ω \pm 10 %	TR 112a 4k7/A	
213	vrstvový	18 000 Ω \pm 10 %	TR 112a 18k/A	
214	vrstvový	470 Ω \pm 10 %	WK 650 54 470/A	viz MFII
215	vrstvový	680 Ω \pm 10 %	TR 112a 680/A	
216	vrstvový	100 Ω \pm 20 %	TR 112a 100	
217	vrstvový	4700 Ω \pm 10 %	TR 112a 4k7/A	
218	vrstvový	18 000 Ω \pm 10 %	TR 112a 18k/A	
219	vrstvový	470 Ω \pm 10 %	WK 650 54 470/A	viz MFIIIa
220	vrstvový	68 000 Ω \pm 10 %	TR 112a 68k/A	
221	vrstvový	22 Ω \pm 10 %	TR 112a 22/A	
222	vrstvový	47 Ω \pm 10 %	TR 112a 47/A	
223	vrstvový	680 Ω \pm 10 %	TR 112a 680/A	
224	vrstvový	150 Ω \pm 20 %	TR 112a 150	
225	vrstvový	680 Ω \pm 10 %	WK 650 54 680/A	viz PD
226	vrstvový	330 Ω \pm 10 %	WK 650 54 330/A	
227	vrstvový	270 Ω \pm 10 %	TR 112a 270/A	
228	vrstvový	270 Ω \pm 10 %	TR 112a 270/A	
229	vrstvový	1000 Ω \pm 10 %	TR 112a 1k/A	
230	potenciometr	2200 Ω lin.	TP 041 2k2	trimr
231	vrstvový	3900 Ω \pm 10 %	TR 112a 3k9/A	
232	potenciometr	3300 Ω lin.	TP 041 3k3	trimr
233	vrstvový	3900 Ω \pm 10 %	TR 112a 3k9/A	
234	vrstvový	4700 Ω \pm 10 %	TR 112a 4k7/A	
235	vrstvový	0,15M Ω \pm 10 %	TR 112a M15/A	
236	vrstvový	15 000 Ω \pm 10 %	WK 650 54 15k/A	viz MFIIIB
237	vrstvový	0,15M Ω \pm 10 %	TR 112a M15/A	
238	vrstvový	33 000 Ω \pm 10 %	TR 112a 33k/A	
239	vrstvový	33 000 Ω \pm 10 %	TR 112a 33k/A	
240	vrstvový	0,15M Ω \pm 10 %	TR 112a M15/A	
241	vrstvový	0,12M Ω \pm 10 %	TR 112a M12/A	
242	vrstvový	0,12M Ω \pm 10 %	TR 112a M12/A	
243	vrstvový	10 000 Ω \pm 5 %	TR 112a 10k/B	
244	vrstvový	1000 Ω \pm 5 %	TR 112a 1k/B	
245	vrstvový	1000 Ω \pm 5 %	TR 112a 1k/B	
246	vrstvový	10 000 Ω \pm 5 %	TR 112a 10k/B	
247	vrstvový	150 Ω \pm 10 %	TR 112a 150/A	
248	vrstvový	150 Ω \pm 10 %	TR 112a 150/A	
249	vrstvový	4700 Ω \pm 5 %	TR 112a 4k7/B	
250	vrstvový	4700 Ω \pm 5 %	TR 112a 4k7/B	
251	vrstvový	150 Ω \pm 20 %	TR 112a 150	
252	vrstvový	150 Ω \pm 20 %	TR 112a 150	

253	vrstvový	2700 $\Omega \pm 10 \%$	TR 112a 2k7/A	
254	vrstvový	150 $\Omega \pm 20 \%$	TR 112a 150	
255	vrstvový	150 $\Omega \pm 20 \%$	TR 112a 150	
256	vrstvový	2700 $\Omega \pm 10 \%$	TR 112a 2k7/A	
261	vrstvový	10 000 $\Omega \pm 20 \%$	TR 112a 10k	
262	potenciometr	6800 Ω lin.	TP 041 6k8	trimr
263	potenciometr	2200 Ω lin.	TP 041 2k2	trimr
264	potenciometr	6800 Ω lin.	TP 041 6k8	trimr
265	vrstvový	10 000 $\Omega \pm 20 \%$	TR 112a 10k	
266	vrstvový	10 000 $\Omega \pm 20 \%$	TR 112a 10k	
267	vrstvový	6800 $\Omega \pm 10 \%$	TR 112a 6k8/A	
268	vrstvový	6800 $\Omega \pm 10 \%$	TR 112a 6k8/A	
269	vrstvový	100 $\Omega \pm 10 \%$	TR 112a 100/A	
270	vrstvový	6800 $\Omega \pm 10 \%$	TR 112a 6k8/A	
271	vrstvový	12 000 $\Omega \pm 10 \%$	TR 112a 12k/A	
272	vrstvový	470 $\Omega \pm 10 \%$	TR 112a 470/A	
273	vrstvový	10 000 $\Omega \pm 10 \%$	TR 112a 10k/A	
274	vrstvový	10 000 $\Omega \pm 10 \%$	TR 112a 10k/A	
275	vrstvový	270 $\Omega \pm 10 \%$	TR 112a 270/A	
276	vrstvový	47 000 $\Omega \pm 10 \%$	TR 112a 47k/A	
277	vrstvový	6800 $\Omega \pm 10 \%$	TR 112a 6k8/A	
278	vrstvový	330 $\Omega \pm 10 \%$	TR 112a 330/A	
279	vrstvový	1500 $\Omega \pm 10 \%$	TR 112a 1k5/A	
280	vrstvový	6800 $\Omega \pm 10 \%$	TR 112a 6k8/A	
281	vrstvový	180 $\Omega \pm 10 \%$	TR 144 180/A	0,5 W
282	vrstvový	560 $\Omega \pm 10 \%$	TR 144 560/A	0,5 W
283	vrstvový	4700 $\Omega \pm 10 \%$	TR 112a 4k7/A	
284	vrstvový	1800 $\Omega \pm 10 \%$	TR 112a 1k8/A	
285	vrstvový	5600 $\Omega \pm 10 \%$	TR 112a 5k6/A	
286	vrstvový	1,5 M $\Omega \pm 20 \%$	TR 112a 1M5	
287	vrstvový	0,33M $\Omega \pm 20 \%$	TR 112a M33	
288	vrstvový	56 000 $\Omega \pm 10 \%$	TR 112a 56k/A	
289	vrstvový	1000 $\Omega \pm 20 \%$	TR 112a 1k	
290	vrstvový	330 $\Omega \pm 10 \%$	TR 112a 330/A	
301	vrstvový	1,5 M $\Omega \pm 20 \%$	TR 112a 1M5	
302	vrstvový	22 000 $\Omega \pm 20 \%$	TR 112a 22k	
303	vrstvový	22 000 $\Omega \pm 20 \%$	TR 112a 22k	
304	vrstvový	47 000 $\Omega \pm 20 \%$	TR 112a 47k	
305	vrstvový	3300 $\Omega \pm 10 \%$	TR 112a 3k3/A	
306	potenciometr	4700 Ω lin.	TP 040 4k7	trimr
307	vrstvový	3300 $\Omega \pm 20 \%$	TR 112a 3k3	
308	vrstvový	1800 $\Omega \pm 10 \%$	TR 112a 1k8/A	
309	vrstvový	33 000 $\Omega \pm 20 \%$	TR 112a 33k	
310	vrstvový	82 000 $\Omega \pm 10 \%$	TR 112a 82k/A	
311	vrstvový	33 000 $\Omega \pm 10 \%$	TR 112a 33k/A	
312	vrstvový	3300 $\Omega \pm 20 \%$	TR 112a 3k3	
313	vrstvový	1,5 M $\Omega \pm 20 \%$	TR 112a 1M5	
314	vrstvový	0,47 M $\Omega \pm 20 \%$	TR 112a M47	
315	vrstvový	22 000 $\Omega \pm 20 \%$	TR 112a 22k	
316	vrstvový	82 000 $\Omega \pm 10 \%$	TR 112a 82k/A	
317	vrstvový	27 000 $\Omega \pm 10 \%$	TR 112a 27k/A	
318	vrstvový	1800 $\Omega \pm 10 \%$	TR 112a 1k8/A	
319	vrstvový	0,47 M $\Omega \pm 10 \%$	TR 112a M47/A	
320	vrstvový	0,47 M $\Omega \pm 10 \%$	TR 112a M47/A	
321	vrstvový	0,15 M $\Omega \pm 10 \%$	TR 112a M15/A	

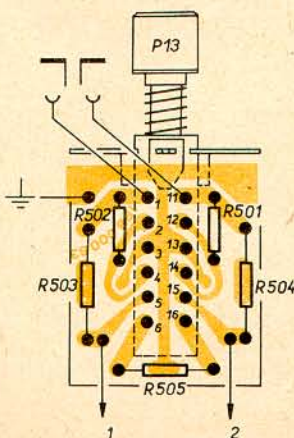
322	vrstvový	0,15 MΩ ± 10 %	TR 112a M15/A	
323	vrstvový	0,15 MΩ ± 10 %	TR 112a M15/A	
324	vrstvový	0,15 MΩ ± 10 %	TR 112a M15/A	
325	vrstvový	47 000 Ω ± 5 %	TR 112a 47k/B	
326	vrstvový	47 000 Ω ± 5 %	TR 112a 47k/B	
327	vrstvový	47 000 Ω ± 5 %	TR 112a 47k/B	
328	vrstvový	47 000 Ω ± 5 %	TR 112a 47k/B	
329	vrstvový	47 Ω ± 10 %	TR 112a 47/A	
330	vrstvový	47 Ω ± 10 %	TR 112a 47/A	
401	vrstvový	150 Ω ± 5 %	TR 151 150/B	0,25 W
402	vrstvový	150 Ω ± 5 %	TR 151 150/B	0,25 W
403	vrstvový	10 Ω ± 10 %	TR 112a 10/A	
404	vrstvový	10 Ω ± 10 %	TR 144 10/A	0,5 W
501	vrstvový	150 Ω ± 10 %	TR 112a 150/A	
502	vrstvový	150 Ω ± 10 %	TR 112a 150/A	
503	vrstvový	1500 Ω ± 10 %	TR 112a 1k5/A	
504	vrstvový	1500 Ω ± 10 %	TR 112a 1k5/A	
505	vrstvový	330 Ω ± 10 %	TR 112a 330/A	
603	vrstvový	10 000 Ω ± 20 %	WK 650 54 10k	
604	vrstvový	0,22 MΩ ± 5 %	TR 112a M22/B	
605	vrstvový	0,22 MΩ ± 5 %	TR 112a M22/B	
606	vrstvový	10 000 Ω ± 5 %	TR 112a 10k/B	
607	vrstvový	10 000 Ω ± 5 %	TR 112a 10k/B	
608	vrstvový	470 Ω ± 20 %	TR 112a 470	
609	vrstvový	470 Ω ± 5 %	TR 112a 470/B	
610	vrstvový	470 Ω ± 5 %	TR 112a 470/B	
701	vrstvový	22 000 Ω ± 10 %	TR 112a 22k/A	
702	vrstvový	6800 Ω ± 10 %	TR 112a 6k8/A	
703	vrstvový	1500 Ω ± 10 %	TR 112a 1k5/A	
704	vrstvový	10 Ω ± 10 %	TR 112a 10/A	
705	vrstvový	2200 Ω ± 10 %	TR 112a 2k2/A	
706	vrstvový	47 000 Ω ± 10 %	TR 112a 47k/A	
707	vrstvový	220 Ω ± 20 %	TR 112a 220	
708	vrstvový	6800 Ω ± 10 %	TR 112a 6k8/A	
709	vrstvový	8200 Ω ± 10 %	TR 112a 8k2/A	
710	vrstvový	150 Ω ± 20 %	TR 112a 150	
711	vrstvový	0,22 MΩ ± 10 %	TR 112a M22/A	
712	vrstvový	330 Ω ± 20 %	TR 112a 330	
713	vrstvový	0,22 MΩ ± 10 %	TR 112a M22/A	
714	vrstvový	6800 Ω ± 10 %	TR 112a 6k8/A	
715	vrstvový	22 000 Ω ± 10 %	TR 112a 22k/A	
716	vrstvový	3300 Ω ± 10 %	TR 112a 3k3/A	
717	vrstvový	220 Ω ± 20 %	TR 112a 220	
718	vrstvový	1500 Ω ± 10 %	TR 112a 1k5/A	
719	vrstvový	0,22 MΩ ± 10 %	TR 112a M22/A	
720	vrstvový	15 000 Ω ± 10 %	TR 112a 15k/A	
721	vrstvový	2200 Ω ± 10 %	TR 112a 2k2/A	
722	vrstvový	0,22 MΩ ± 10 %	TR 112a M22/A	
723	vrstvový	15 000 Ω ± 10 %	TR 112a 15k/A	
724	vrstvový	6800 Ω ± 10 %	TR 112a 6k8/A	
725	vrstvový	33 Ω ± 20 %	TR 112a 33	
726	vrstvový	1500 Ω ± 10 %	TR 112a 1k5/A	
727	vrstvový	220 Ω ± 20 %	TR 112a 220	
728	vrstvový	3300 Ω ± 10 %	TR 112a 3k3/A	
729	vrstvový	150 Ω ± 20 %	TR 112a 150	

730	vrstvový	2200 $\Omega \pm 10 \%$	TR 112a 2k2/A	
731	vrstvový	3300 $\Omega \pm 10 \%$	TR 112a 3k3/A	
732	vrstvový	5600 $\Omega \pm 10 \%$	TR 112a 5k6/A	
733	vrstvový	22 $\Omega \pm 10 \%$	TR 112a 22/A	
734	vrstvový	22 $\Omega \pm 10 \%$	TR 112a 22/A	
735	vrstvový	470 $\Omega \pm 20 \%$	TR 112a 470	
736	vrstvový	10 000 $\Omega \pm 10 \%$	TR 112a 10k/A	
737	vrstvový	0,68 M $\Omega \pm 10 \%$	TR 112a M68/A	
738	vrstvový	0,1 M $\Omega \pm 10 \%$	TR 112a M1/A	
739	vrstvový	33 000 $\Omega \pm 10 \%$	TR 112a 33k/A	
740	vrstvový	150 $\Omega \pm 20 \%$	TR 112a 150	
741	vrstvový	2200 $\Omega \pm 10 \%$	TR 112a 2k2/A	MF1
801	vrstvový	0,22 M $\Omega \pm 20 \%$	TR 112a M22	
802	vrstvový	0,22 M $\Omega \pm 20 \%$	TR 112a M22	
803	vrstvový	0,47 M $\Omega \pm 20 \%$	TR 112a M47	
804	vrstvový	0,47 M $\Omega \pm 20 \%$	TR 112a M47	
805	vrstvový	0,15 M $\Omega \pm 20 \%$	TR 112a M15	
806	vrstvový	0,15 M $\Omega \pm 20 \%$	TR 112a M15	
807	vrstvový	100 $\Omega \pm 20 \%$	TR 112a 100	
808	vrstvový	100 $\Omega \pm 20 \%$	TR 112a 100	
809	vrstvový	22 000 $\Omega \pm 20 \%$	TR 112a 22k	
810	vrstvový	22 000 $\Omega \pm 20 \%$	TR 112a 22k	
811	vrstvový	8200 $\Omega \pm 10 \%$	TR 112a 8k2/A	
812	vrstvový	8200 $\Omega \pm 10 \%$	TR 112a 8k2/A	
813	vrstvový	2200 $\Omega \pm 10 \%$	TR 112a 2k2/A	
814	vrstvový	2200 $\Omega \pm 10 \%$	TR 112a 2k2/A	
815				
816	potenciometr	2 x 50 000 Ω log.	LPN 692 34	
817	potenciometr	2 x 0,1 M Ω lin.	LPN 692 32	
818				
819	vrstvový	10 000 $\Omega \pm 20 \%$	TR 112a 10k	
820	vrstvový	10 000 $\Omega \pm 20 \%$	TR 112a 10k	
821	vrstvový	4700 $\Omega \pm 20 \%$	TR 112a 4k7	
822	vrstvový	4700 $\Omega \pm 20 \%$	TR 112a 4k7	
823	vrstvový	10 000 $\Omega \pm 20 \%$	TR 112a 10k	
824	vrstvový	10 000 $\Omega \pm 20 \%$	TR 112a 10k	
825	vrstvový	18 000 $\Omega \pm 10 \%$	TR 112a 18k/A	
826	vrstvový	18 000 $\Omega \pm 10 \%$	TR 112a 18k/A	
827	potenciometr	2 x 0,1 M Ω lin.	LPN 692 32	
828				
829	vrstvový	0,82 M $\Omega \pm 10 \%$	TR 112a M82/A	
830	vrstvový	0,82 M $\Omega \pm 10 \%$	TR 112a M82/A	
831	vrstvový	4700 $\Omega \pm 20 \%$	TR 112a 4k7	
832	vrstvový	4700 $\Omega \pm 20 \%$	TR 112a 4k7	
833	vrstvový	0,15 M $\Omega \pm 20 \%$	TR 112a M15	
834	vrstvový	0,15 M $\Omega \pm 20 \%$	TR 112a M15	
835	vrstvový	1800 $\Omega \pm 10 \%$	TR 112a 1k8/A	
836	vrstvový	1800 $\Omega \pm 10 \%$	TR 112a 1k8/A	
837				
838	potenciometr	2 x 25 000 Ω lin.	LPN 692 33	
839	vrstvový	3300 $\Omega \pm 20 \%$	TR 112a 3k3	
840	vrstvový	3300 $\Omega \pm 20 \%$	TR 112a 3k3	
841	vrstvový	2200 $\Omega \pm 10 \%$	TR 112a 2k2/A	
842	vrstvový	2200 $\Omega \pm 10 \%$	TR 112a 2k2/A	
843	vrstvový	2200 $\Omega \pm 10 \%$	TR 112a 2k2/A	

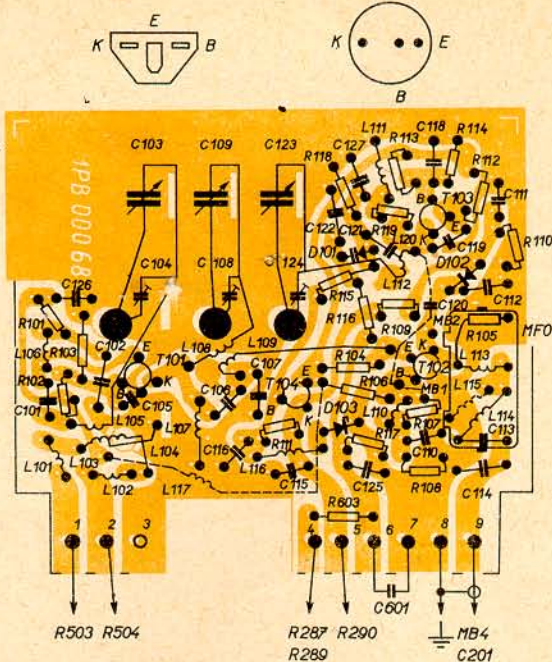
844	vrstvový	2200 $\Omega \pm 10 \%$	TR 112a 2k2/A	
845	vrstvový	1500 $\Omega \pm 20 \%$	TR 112a 1k5	
846	vrstvový	1500 $\Omega \pm 20 \%$	TR 112a 1k5	
901	vrstvový	0,15 M $\Omega \pm 20 \%$	TR 112a M15	
902	vrstvový	0,15 M $\Omega \pm 20 \%$	TR 112a M15	
903	vrstvový	0,33 M $\Omega \pm 20 \%$	TR 112a M33	
904	vrstvový	0,33 M $\Omega \pm 20 \%$	TR 112a M33	
905	vrstvový	10 $\Omega \pm 5 \%$	TR 112a 10/B	
906	vrstvový	10 $\Omega \pm 5 \%$	TR 112a 10/B	
907	vrstvový	4700 $\Omega \pm 20 \%$	TR 112a 4k7	
908	vrstvový	4700 $\Omega \pm 20 \%$	TR 112a 4k7	
909	vrstvový	1000 $\Omega \pm 5 \%$	TR 112a 1k/B	
910	vrstvový	1000 $\Omega \pm 5 \%$	TR 112a 1k/B	
911	vrstvový	10 000 $\Omega \pm 20 \%$	TR 112a 10k	
912	vrstvový	10 000 $\Omega \pm 20 \%$	TR 112a 10k	
913	vrstvový	15 000 $\Omega \pm 20 \%$	TR 112a 15k	
914	vrstvový	15 000 $\Omega \pm 20 \%$	TR 112a 15k	
915	vrstvový	2700 $\Omega \pm 10 \%$	TR 112a 2k7/A	
916	vrstvový	2700 $\Omega \pm 10 \%$	TR 112a 2k7/A	
917	potenciometr	0,1 M Ω lin.	TP 040 M1	trimr
918	potenciometr	0,1 M Ω lin.	TP 040 M1	trimr
919	vrstvový	68 $\Omega \pm 10 \%$	TR 112a 68/A	
920	vrstvový	68 $\Omega \pm 10 \%$	TR 112a 68/A	
921	potenciometr	1000 Ω lin.	TP 040 1k	trimr
922	potenciometr	1000 Ω lin.	TP 040 1k	trimr
923	vrstvový	1800 $\Omega \pm 20 \%$	TR 112a 1k8/A	
924	vrstvový	1800 $\Omega \pm 20 \%$	TR 112a 1k8/A	
925	vrstvový	680 $\Omega \pm 20 \%$	TR 112a 680	
926	vrstvový	680 $\Omega \pm 20 \%$	TR 112a 680	
927	vrstvový	1000 $\Omega \pm 20 \%$	TR 112a 1k	
928	vrstvový	1000 $\Omega \pm 20 \%$	TR 112a 1k	
929	vrstvový	1000 $\Omega \pm 20 \%$	TR 112a 1k	
930	vrstvový	1000 $\Omega \pm 20 \%$	TR 112a 1k	
931	drátový	0,5 $\Omega \pm 10 \%$	WK 669 42 OJ5/A	2 W
932	drátový	0,5 $\Omega \pm 10 \%$	WK 669 42 OJ5/A	2 W
933	drátový	0,5 $\Omega \pm 10 \%$	WK 669 42 OJ5/A	2 W
934	drátový	0,5 $\Omega \pm 10 \%$	WK 669 42 OJ5/A	2 W
935	vrstvový	22 $\Omega \pm 20 \%$	TR 112a 22	
936	vrstvový	22 $\Omega \pm 20 \%$	TR 112a 22	

TABULKA PŘEPÍNAČŮ P1 - P15

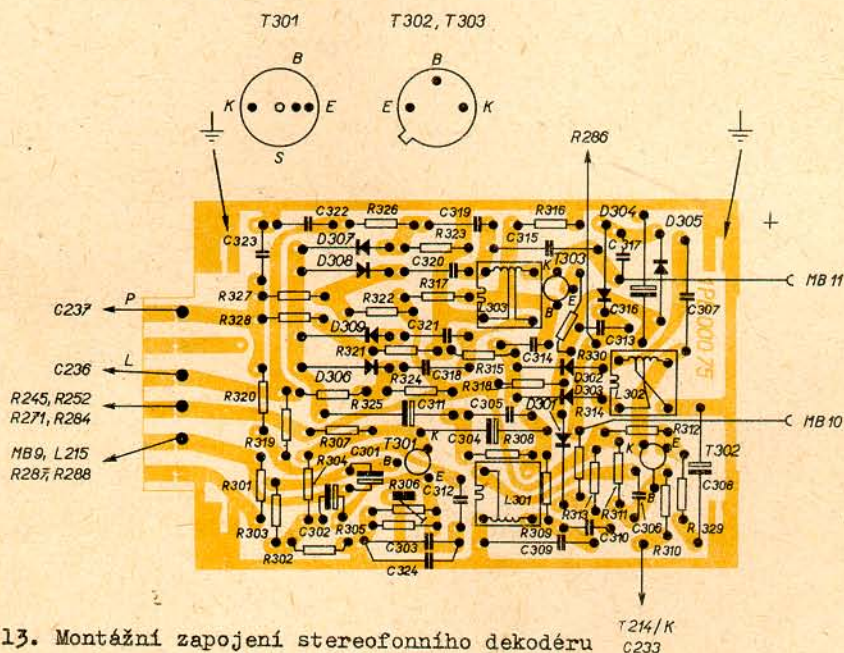
PŘEPÍNAČ		STISKNUTÍM TLAČÍTKA MĚNÍ SE SPOJENÍ TAKTO:	
		SPOJÍ SE	ROZPOJÍ SE
P1	Š.P.	2-3, 22-23	1-2, 21-22
P2	ŠUM	-	21-22
P3	AFC	-	21-22
P4	OSV.	2-3, 22-23	1-2, 21-22
P5	VYP.	1-21, 3-23	-
P6	KVI	2-3, 5-6, 8-9, 11-12, 22-23, 25-26, 31-32	1-2, 4-5, 7-8, 10-11, 24-25, 30-31
P7	KVII	2-3, 5-6, 8-9, 11-12, 22-23, 25-26, 31-32	1-2, 4-5, 7-8, 10-11, 24-25, 30-31
P8	SV	2-3, 5-6, 8-9, 11-12, 25-26, 31-32	1-2, 4-5, 7-8, 10-11, 24-25, 30-31
P9	DV	2-3, 5-6, 8-9, 11-12, 25-26, 31-32	1-2, 4-5, 7-8, 10-11, 24-25, 30-31
P10	VKV	2-3, 5-6, 8-9, 22-23, 25-26, 28-29	1-2, 4-5, 7-8, 21-22, 24-25, 27-28
P11	☉	2-3, 5-6, 25-26	1-2, 4-5, 21-22, 24-25
P12	MONO	2-3, 5-6, 22-23, 25-26	4-5, 24-25
P13	MIESTNY PRIJEM	2-3, 5-6, 12-13, 15-16	1-2, 4-5, 11-12, 14-15
P14	☺	2-3, 22-23	1-2, 21-22
P15	☐	2-2, 22-23	1-2, 21-22



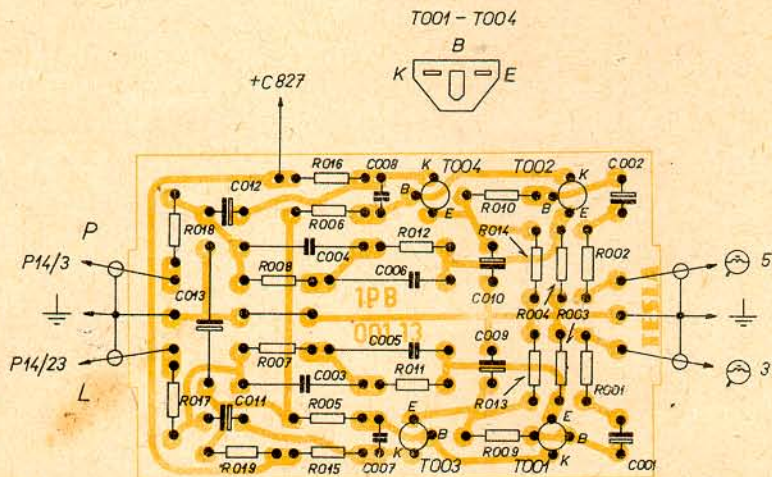
Obr. 11. Montážní zapojení anténního obvodu pro fm



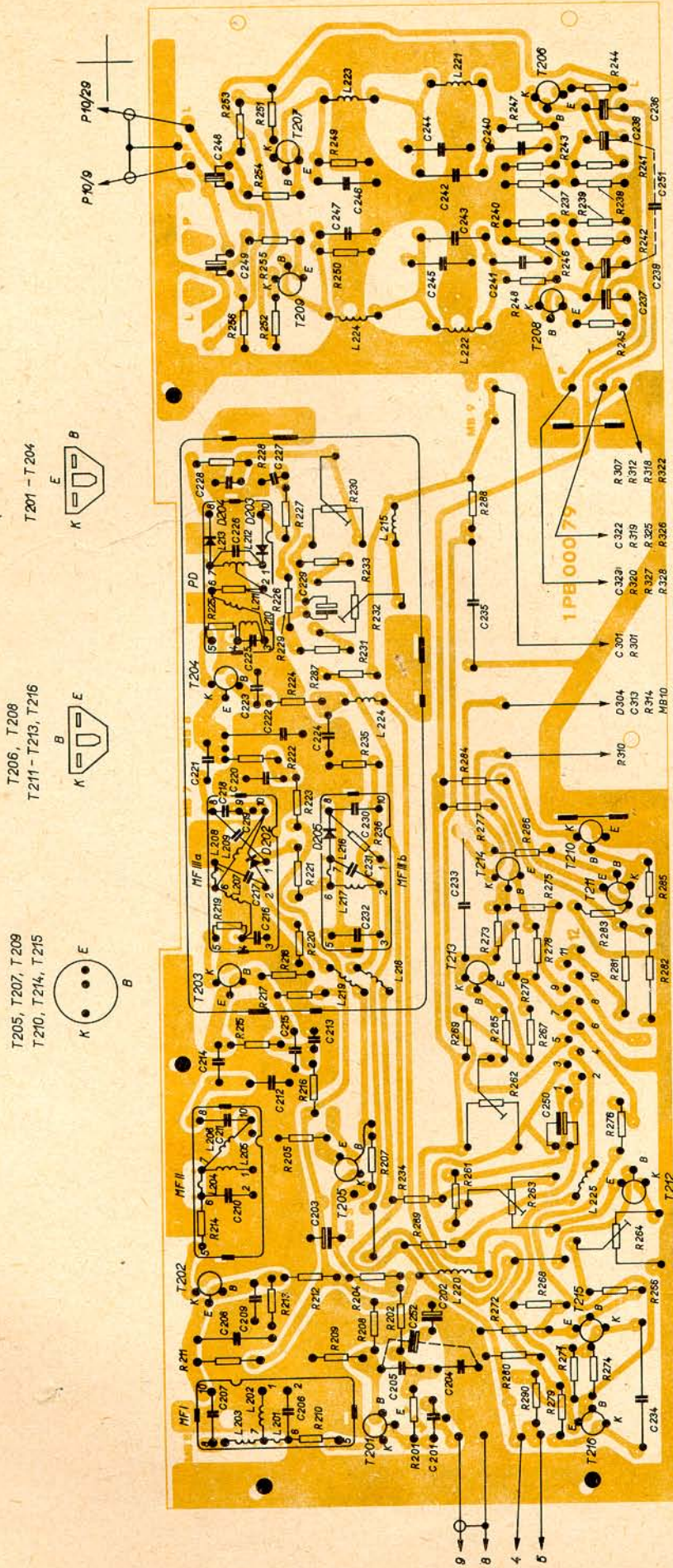
Obr. 12. Montážní zapojení vstupní části pro fm



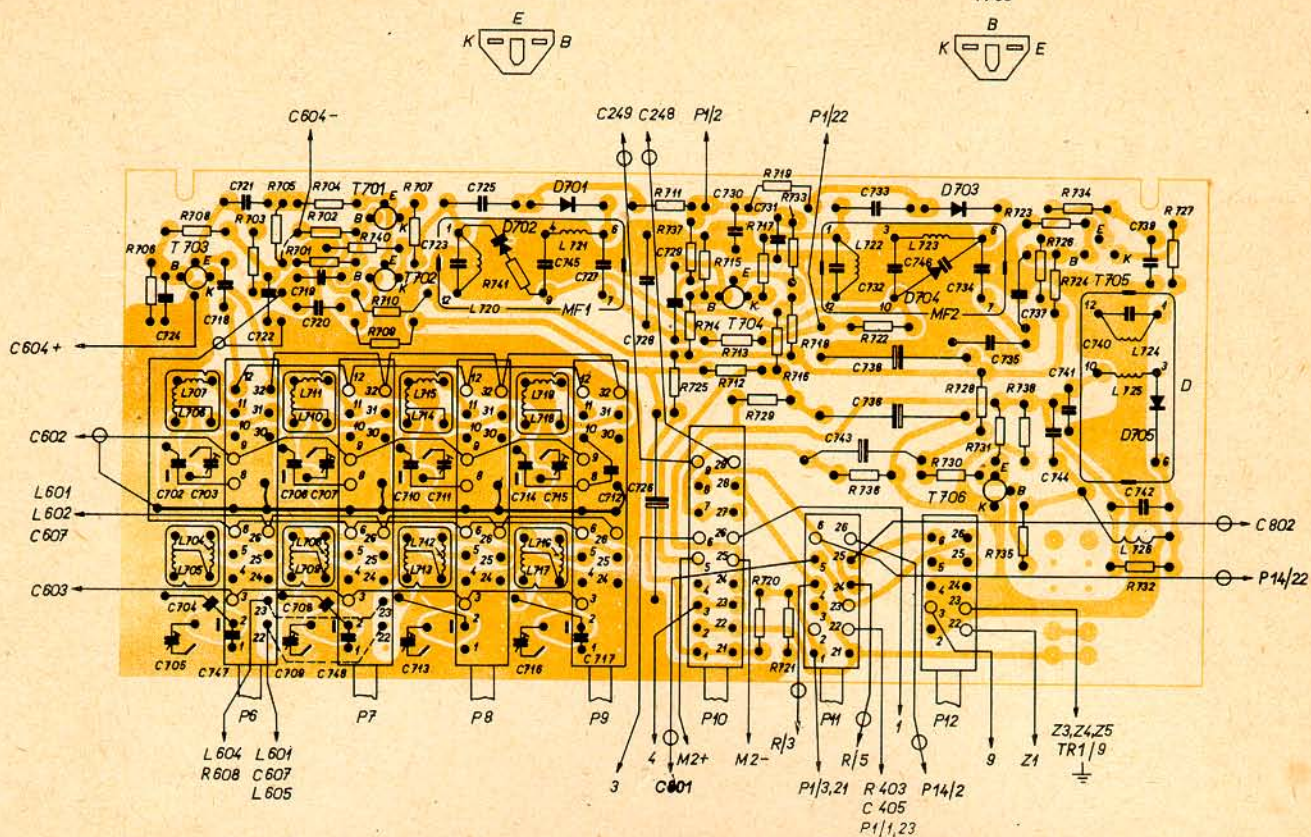
Obr. 13. Montážní zapojení stereofonního dekodéru



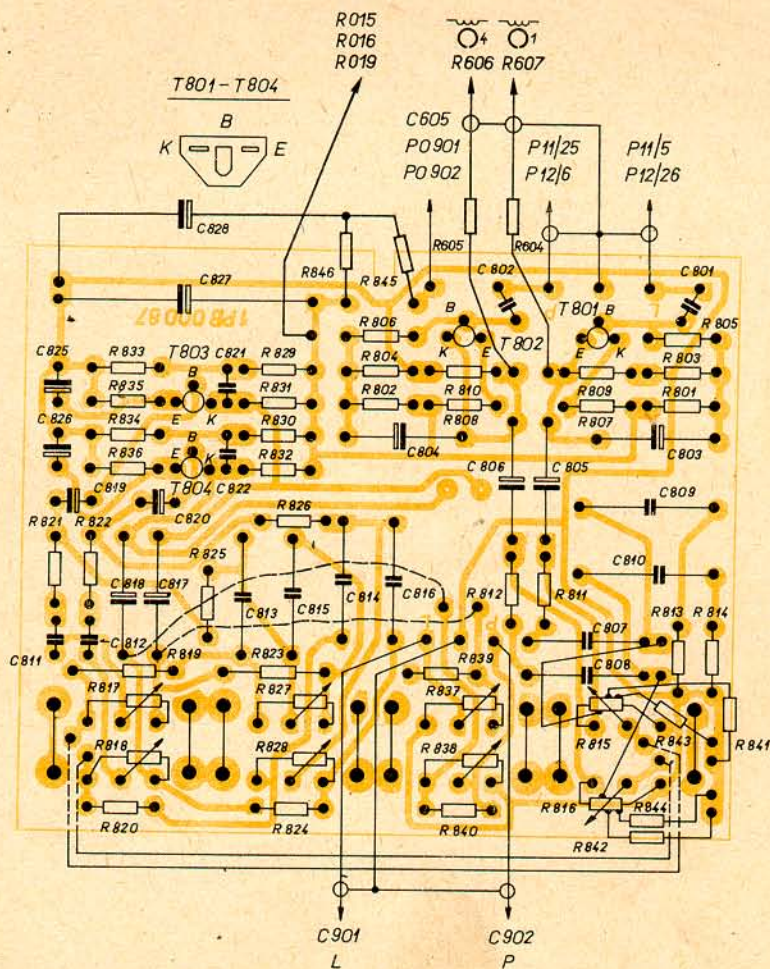
Obr. 14. Montážní zapojení předzesilovače pro přenosku



Obr. 15. Montážní zapojení mezifrekvenční části pro fm



Obr. 16. Montážní zapojení vstupní a mezifrekvenční části pro am

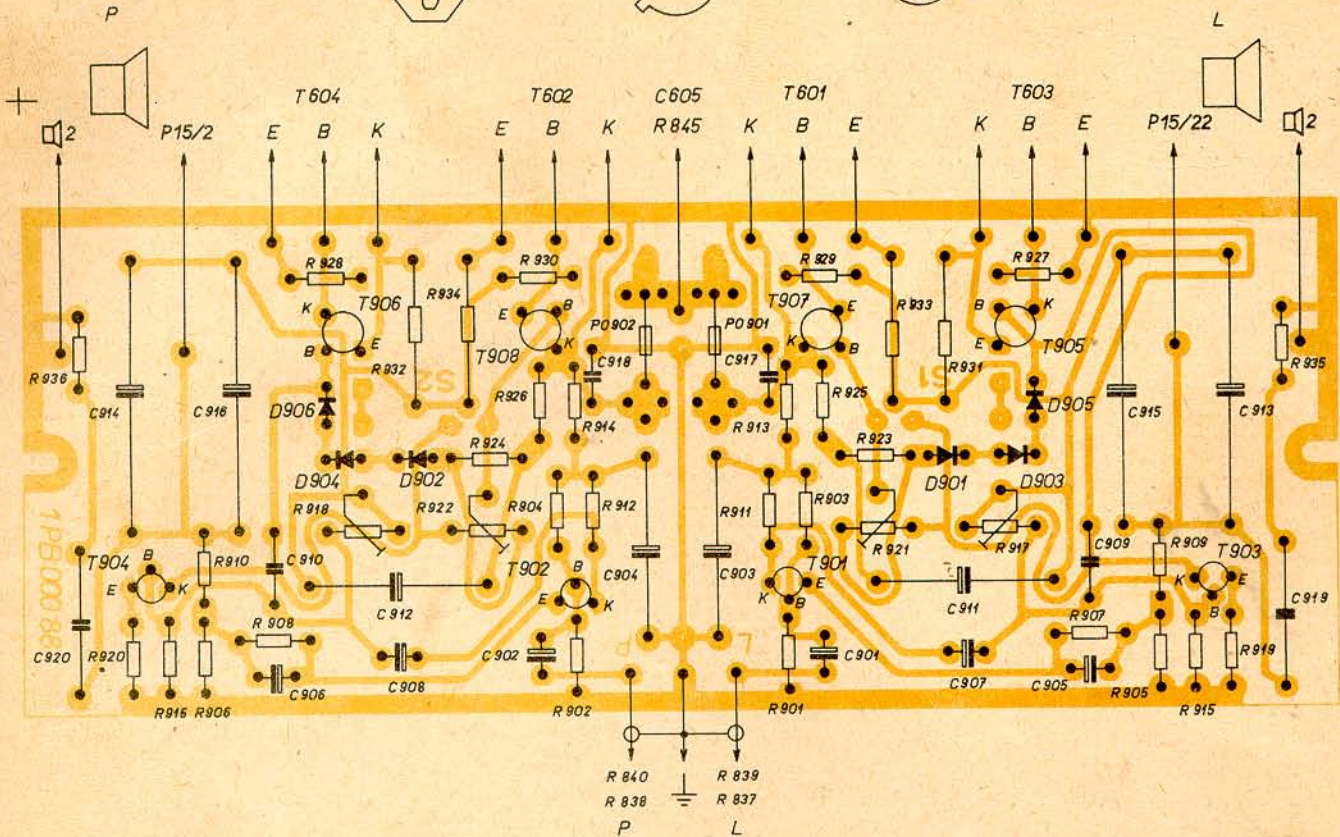
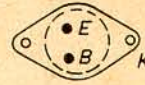
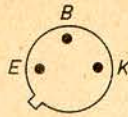
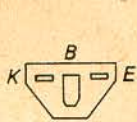


Obr. 17. Montážní zapojení korekčního zesilovače

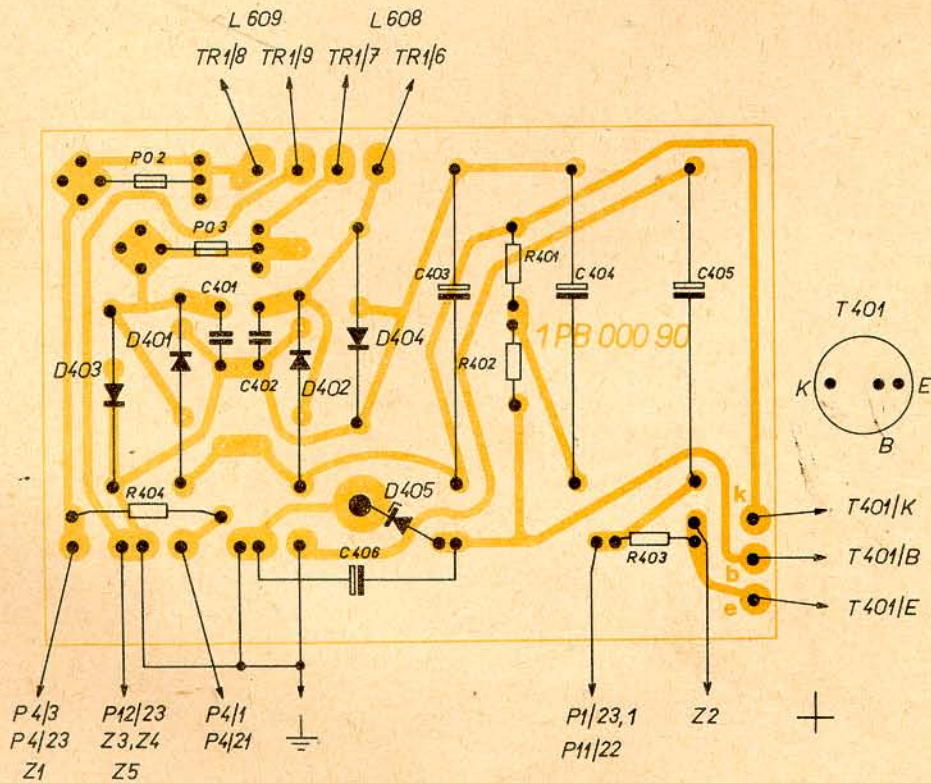
T901 - T904

HRČS - www.hrčs.cz
T905 - T908

T601 - T604

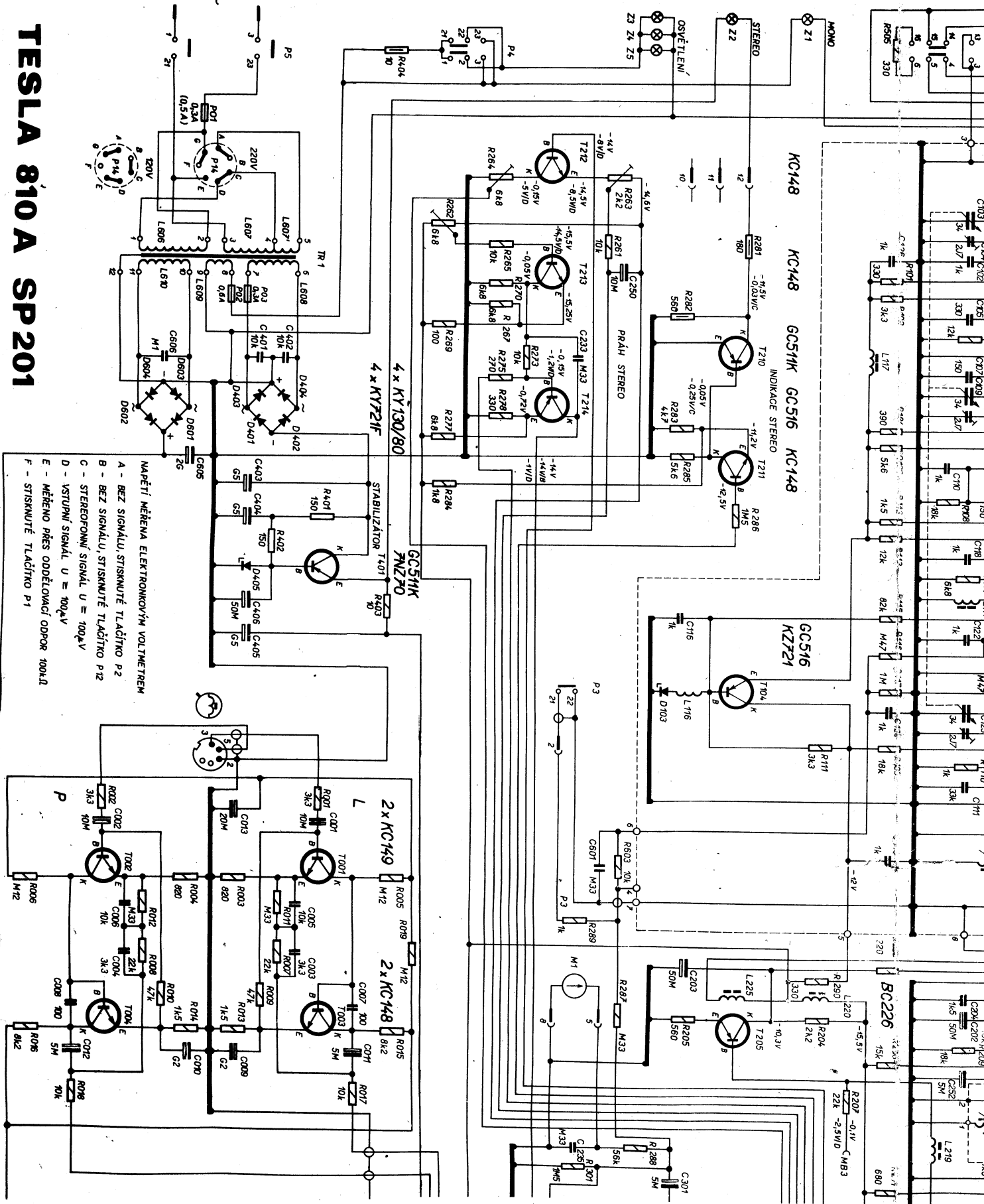


Obr. 18. Montážní zapojení výkonového zesilovače

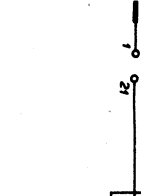
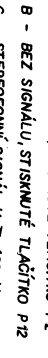
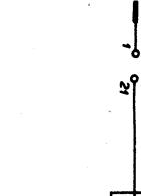


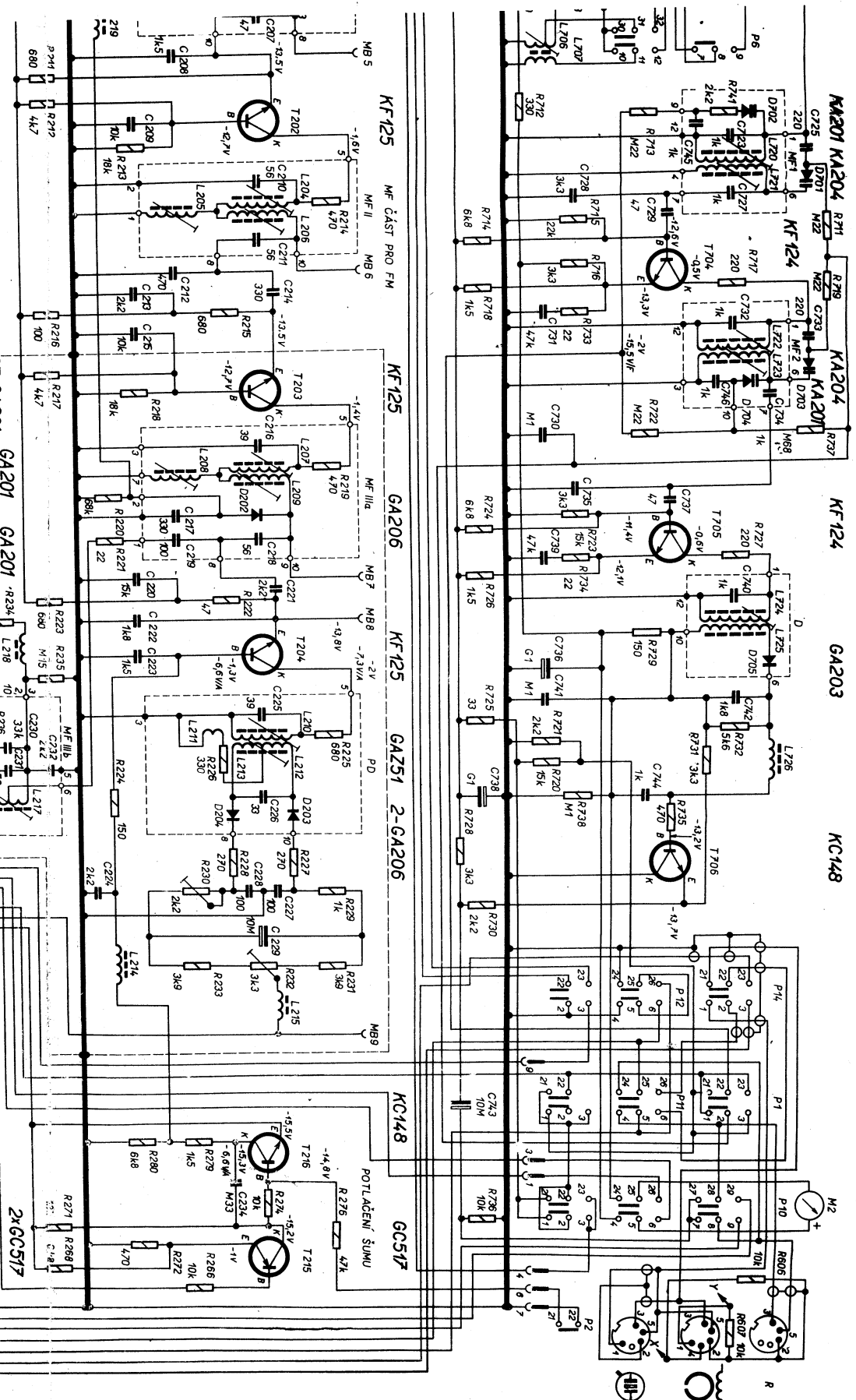
Obr. 19. Montážní zapojení napáječe

TESLA 810A SP 201



NAPĚTÍ MĚŘENÁ ELEKTRONOVÝM VOLTMETREM
 A - BEZ SIGNÁLU, STISKNUTÉ TLAČÍTKO P2
 B - BEZ SIGNÁLU, STISKNUTÉ TLAČÍTKO P12
 C - STEREOFONNÍ SIGNÁL U = 100µV
 D - VSTUPNÍ SIGNÁL U = 100µV
 E - MĚŘENO PŘES ODDĚLOVACÍ ODPOR 100kΩ
 F - STISKNUTÉ TLAČÍTKO P1





201	211	221	231	241	251	261	271	281	291	301	311	321	331	341	351	361	371	381	391	401	411	421	431	441	451	461	471	481	491	501	511	521	531	541	551	561	571	581	591	601	611	621	631	641	651	661	671	681	691	701	711	721	731	741	751	761	771	781	791	801	811	821	831	841	851	861	871	881	891	901	911	921	931	941	951	961	971	981	991	1001
-----	-----	-----	-----	-----	-----	-----	-----	-----	-----	-----	-----	-----	-----	-----	-----	-----	-----	-----	-----	-----	-----	-----	-----	-----	-----	-----	-----	-----	-----	-----	-----	-----	-----	-----	-----	-----	-----	-----	-----	-----	-----	-----	-----	-----	-----	-----	-----	-----	-----	-----	-----	-----	-----	-----	-----	-----	-----	-----	-----	-----	-----	-----	-----	-----	-----	-----	-----	-----	-----	-----	-----	-----	-----	-----	-----	-----	-----	-----	-----	------

STEREOFONNÍ PŘIJÍMAČ TESLA 810A SP 201

Změnový list

Rozhlasový přijímač TESLA 810A je popsán v Předběžném návodu k údržbě, který slouží jako prvotní informace o tomto přístroji. Podrobné údaje o vlastnostech, funkci a provádění veškerých oprav, jakož i seznam výrobních změn a kompletní obrazový materiál bude obsahovat Návod k údržbě, připravovaný pro tisk. Prozatím uvádíme nejdůležitější změny, které se postupně realizovaly během výroby na základě zkušeností s provozem přijímače.

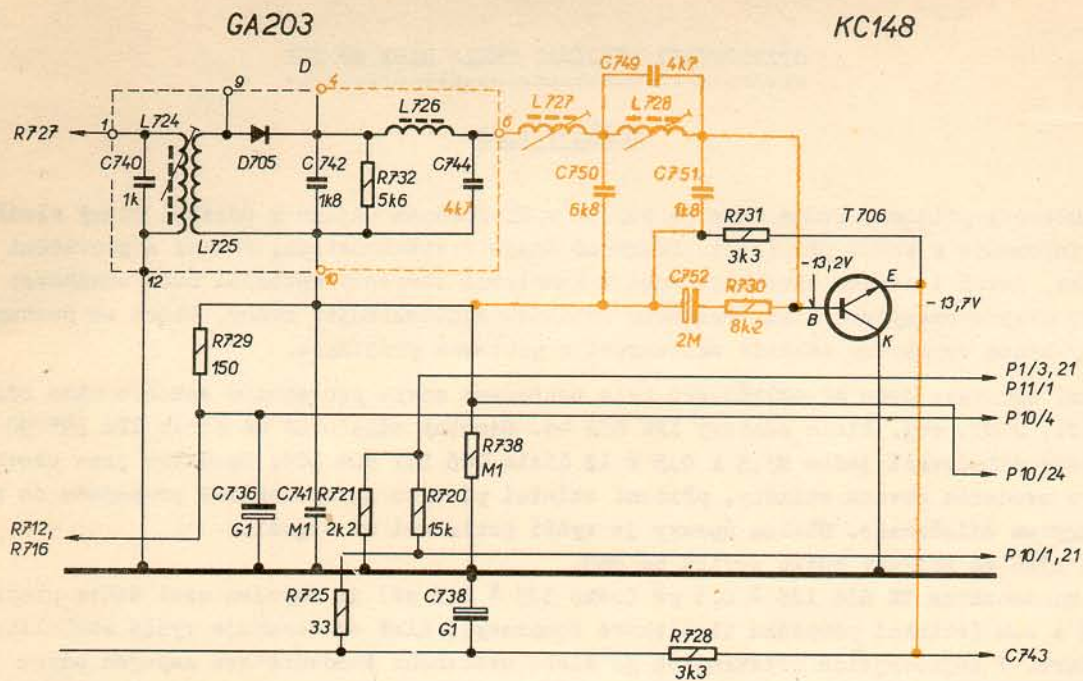
1. Původní soustava dvou mf odlaďovačů byla nahrazena novým provedením samostatného odlaďovače L601, C607, obj. číslo sestavy LPK 852 44. Samotný odlaďovač má číslo LPK 593 90 a jeho feritové dolaďovací jádro M3,5 x 0,5 x 12 číslo 205 511 304 503. Současně jsou všechny vodiče v uvedeném obvodu stíněny, přičemž stínicí pletivo je spolehlivě propojeno se stínícím krytem odlaďovače. Účelem úpravy je vyšší potlačení mf signálu.
2. Cívka L716 má snížený počet závitů na 860.
3. Nový kondenzátor TK 656 1J5 ± 0,5 pF (nebo 3J3 ± 0,5 pF) je zapojen mezi dotek přepínače P6/32 a zem (stínicí přepážku tlačítkové soupravy), čímž se dosahuje vyšší stability oscilátoru. V nejnovějších přístrojích je místo uvedeného kondenzátoru zapojen odpor TR 112a 100 do přívodu ke kolektoru tranzistoru T703 (připájený na desku ze strany plošných spojů).
4. Detekční obvod pro am byl upraven a doplněn nastavitelnými mf filtry, jejich účelem je vhodně tvarovat kmitočtový průběh demodulovaného signálu a vyloučit případné zkreslení nebo zákmity při příjmu silných vysílačů. Na obr. 1. je schéma zapojení změněné části s novými díly vyznačenými barevně a na obr. 2. je příslušný výřez montážního zapojení s novou deskou s plošnými spoji (jejíž objednávací číslo se nezměnilo). V novém provedení odpadá původní tlumivka L726, která je spolu s dalšími díly nyní vestavěna do krytu nového detektoru, obj. číslo LPK 853 29. Tlumivky L727 a L728 mají obj. číslo LFF 652 10, dolaďovací jádro M4 x 0,5 x 12 má číslo 205 512 304 651. Další nové části: C749 = TC 281 4k7, C750 = TC 281 6k8, C751 = TC 281 1k8, R730 = TR 112a 8k2/A a je jinak zapojen, R735 odpadá a kondenzátor C744 má nyní hodnotu 4k7/A.

Indukčnost tlumivek se přesně nastavuje pomocí nízkofrekvenčního generátoru, zapojeného na vývod 4 detektoru D (katoda diody D705), a elektronkového milivoltmetru připojeného na výstup R přijímače. Přijímač přepneme na dlouhé vlny a tlačítko Š.P. ponecháme nestlačeno. Generátor nastavíme na kmitočet 5250 Hz tak, aby napětí na výstupu bylo přibližně 250 mV; jádrem cívky L728 potom nařídíme nejmenší výchylku výstupního měřiče. Generátor přeladíme na 1000 Hz a nastavíme na výstupu referenční úroveň 25 mV (0 dB); nyní naladíme generátor na 4250 Hz a jádrem cívky L727 nastavíme pokles výstupního napětí o 3 dB pod referenční úroveň. Po odpojení přístrojů stiskneme tlačítko Š.P. a ověříme si, zda je mf šířka pásma větší než 4000 Hz.

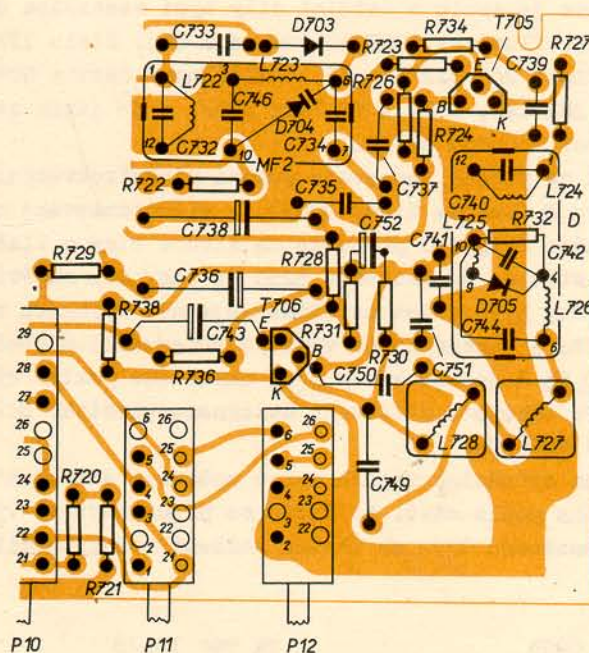
5. Extrémně silné signály na středních vlnách mohou způsobit zkreslení i v přijímačích, v nichž je provedena změna podle odst. 4. Proto se připravuje ve výrobě další změna, která spočívá v zařazení kondenzátoru C752 za účelem snížení rozptylu filtrů. Obj. číslo kondenzátoru je TE 986 2M.
6. Další změněné díly:

C223	TK 744 15n/S
C747	odpadá
C817, C818	TE 986 2M PVC
C821, C822	TK 626 68
C828	TE 986 G5
R261	TR 112a 3k3
D901-D908	KY130/80

7. Tranzistor T301 byl nahrazen jugoslávským typem BC226. Potom má být provozní napětí $U_E = -1,7$ až $-2,2$ V a $U_K = -11$ až -12 V.
8. Při pájení diod D101, D102, D103 je nutno vkládat mezi desku a diodu korálek 1,4 ČSN 72 5762.
9. Nová zásuvka pro reproduktory má obj. číslo 6AF 282 28.



Obr. 1. Schéma zapojení detekčního obvodu pro am



Obr. 2. Montážní zapojení detekčního obvodu při pohledu ze stran plošných spojů



**OBCHODNÍ PODNIK
PRAHA**